

FIG. 1

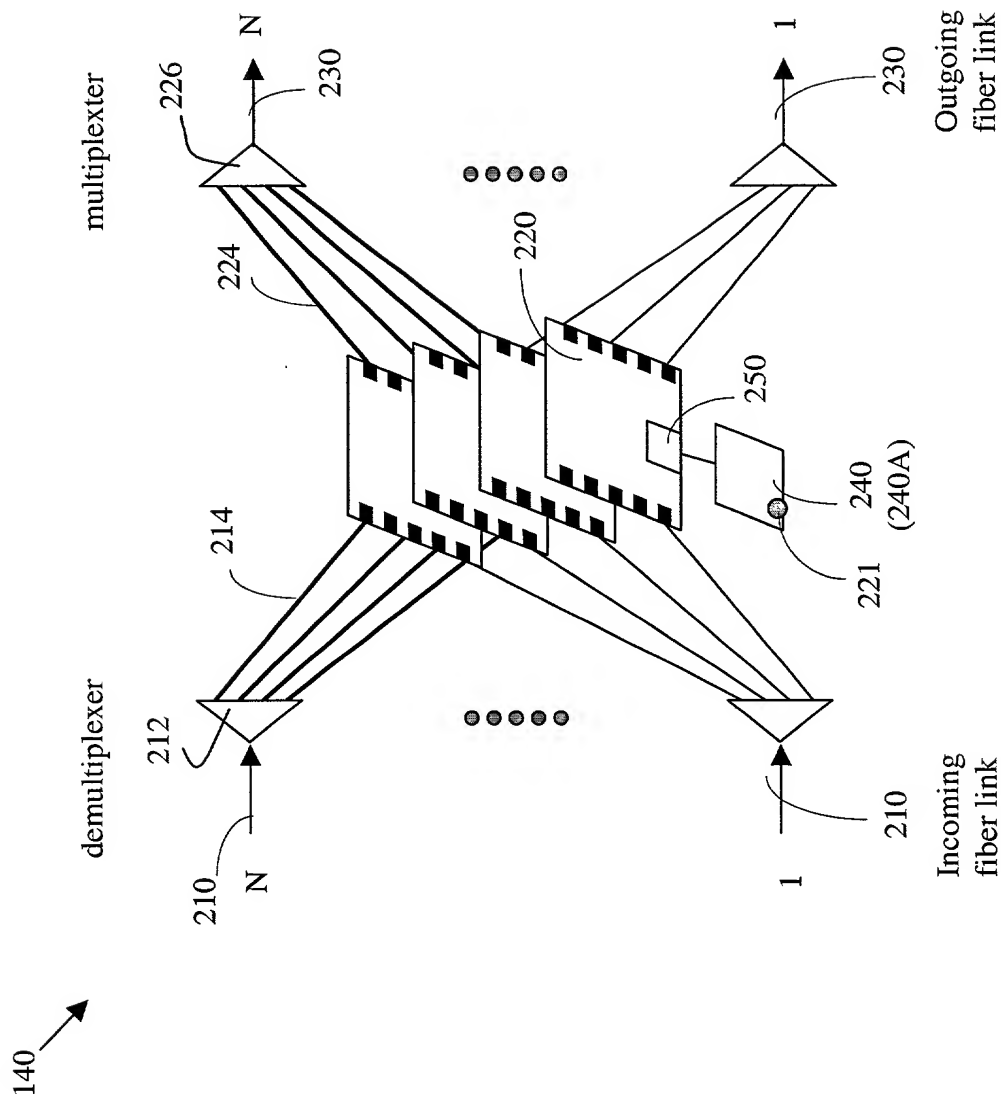


FIG. 2

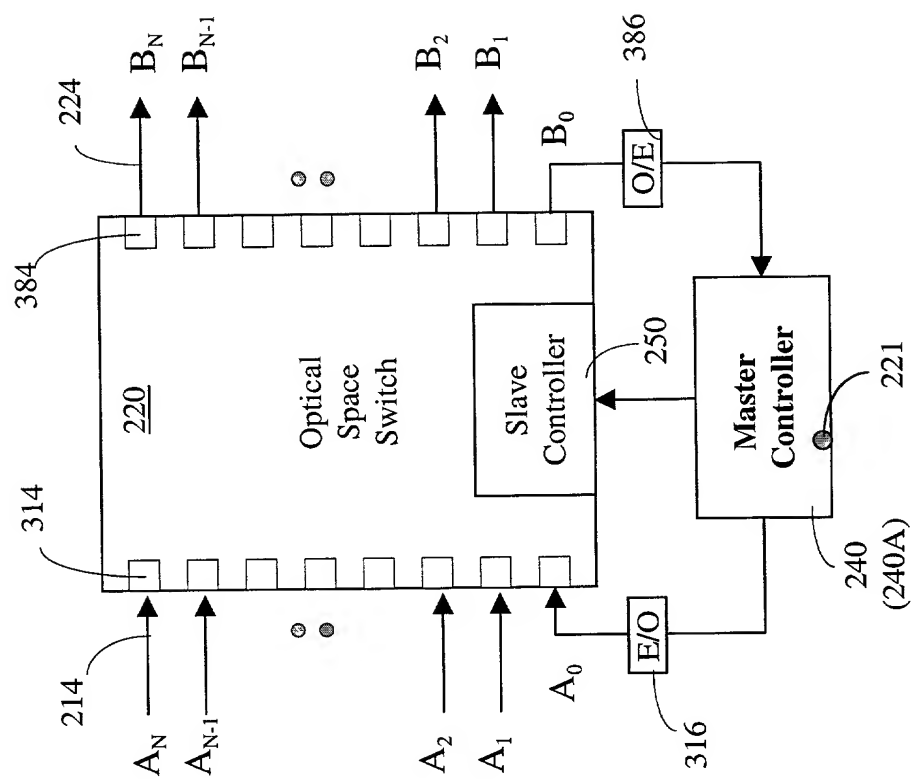


FIG. 3

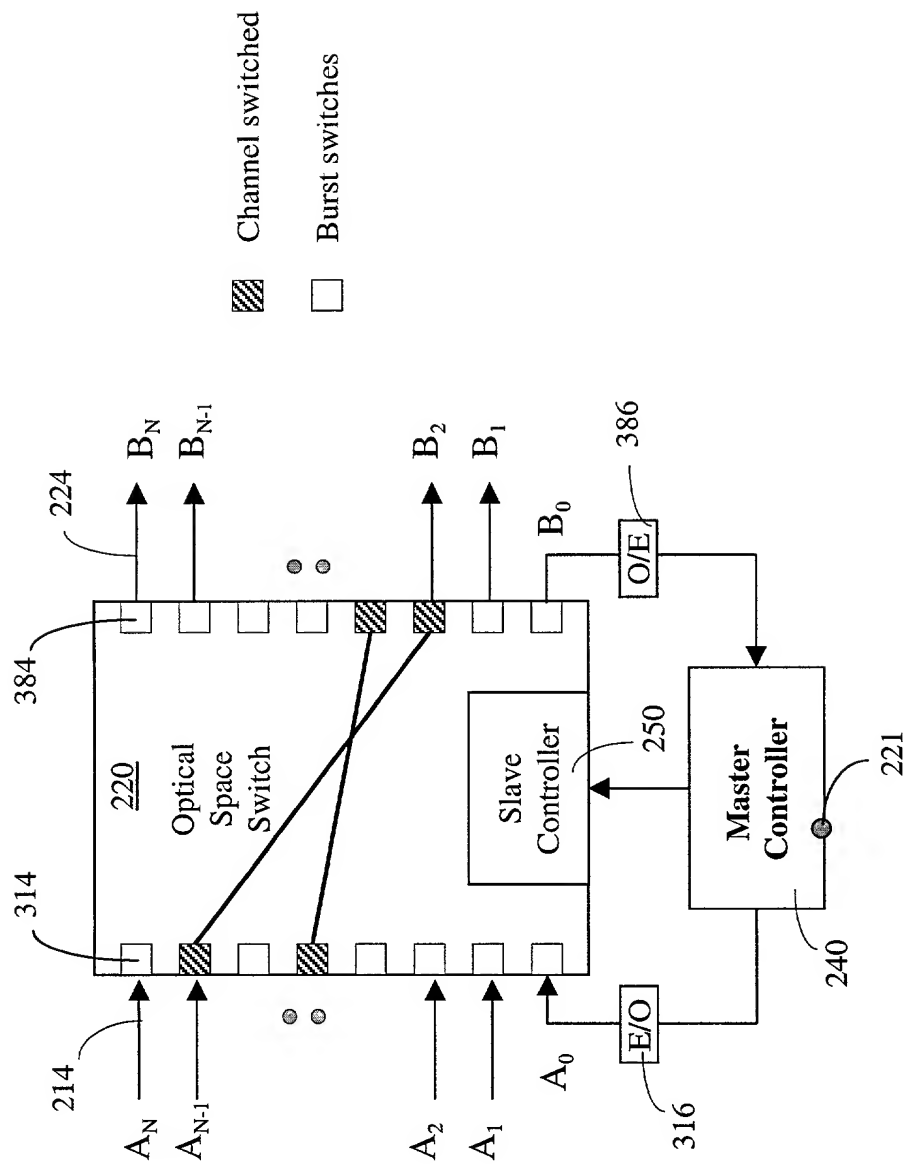


FIG. 4

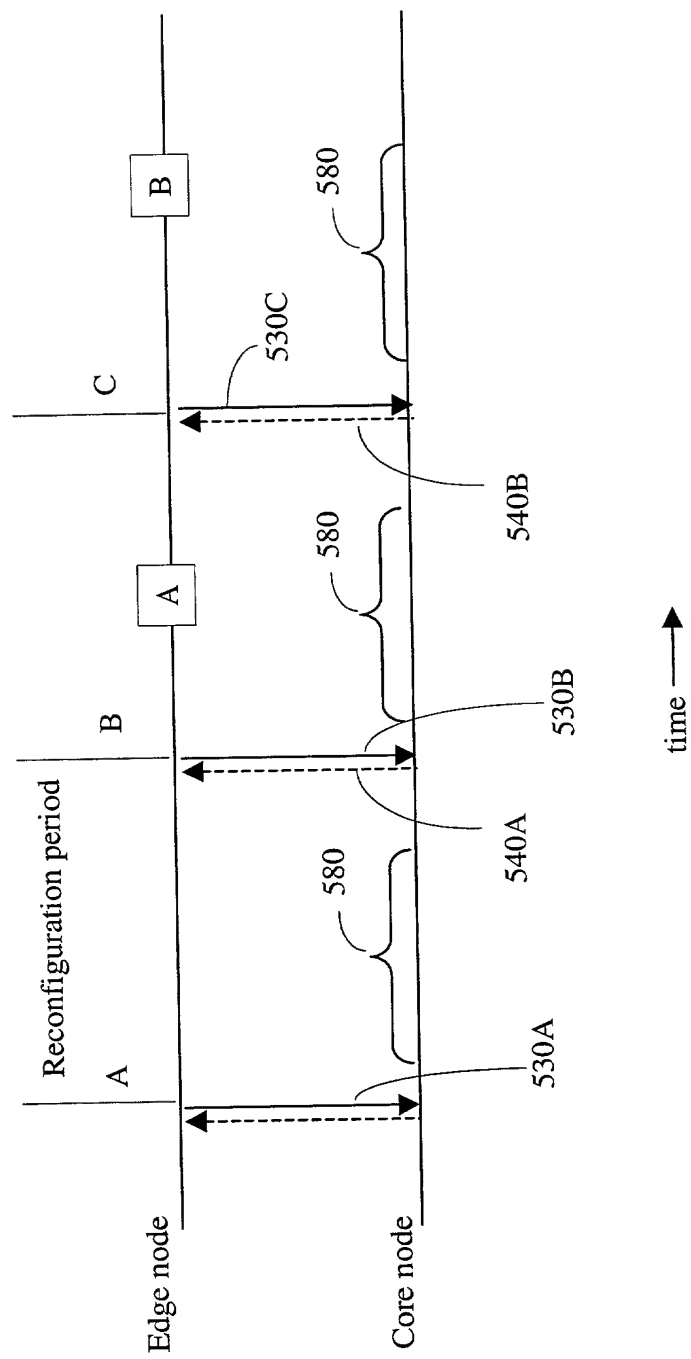


FIG. 5

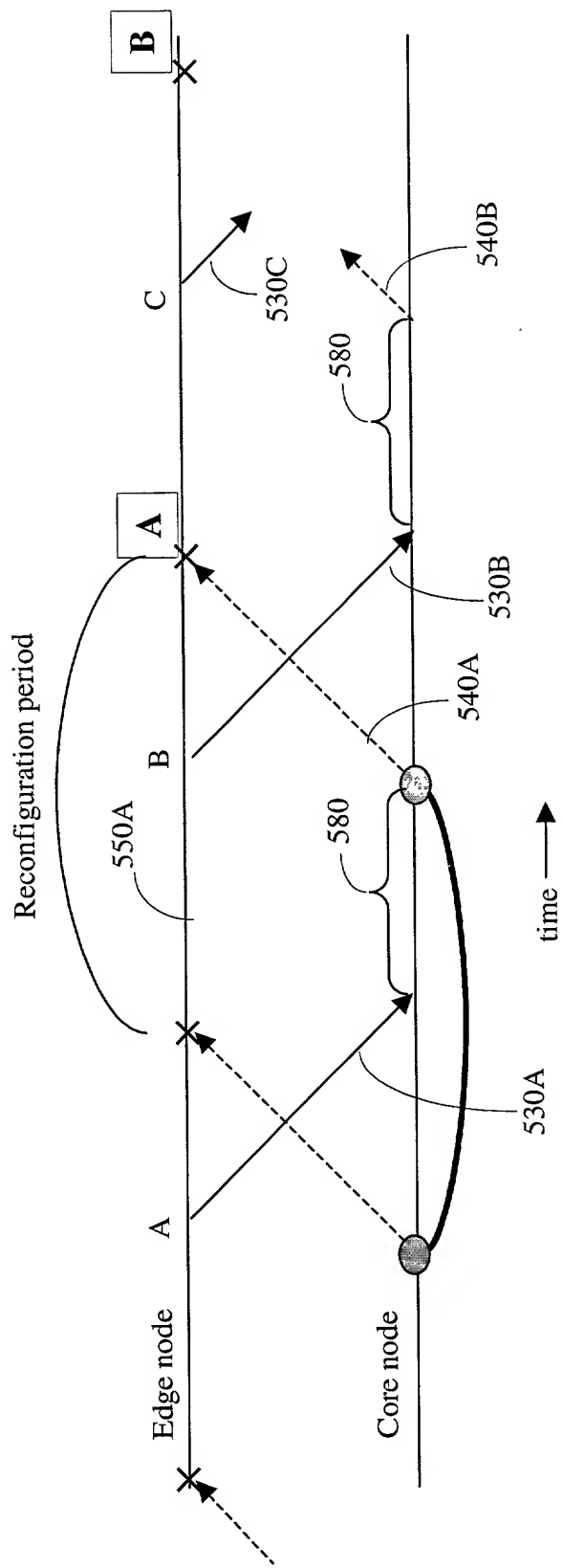


FIG. 6

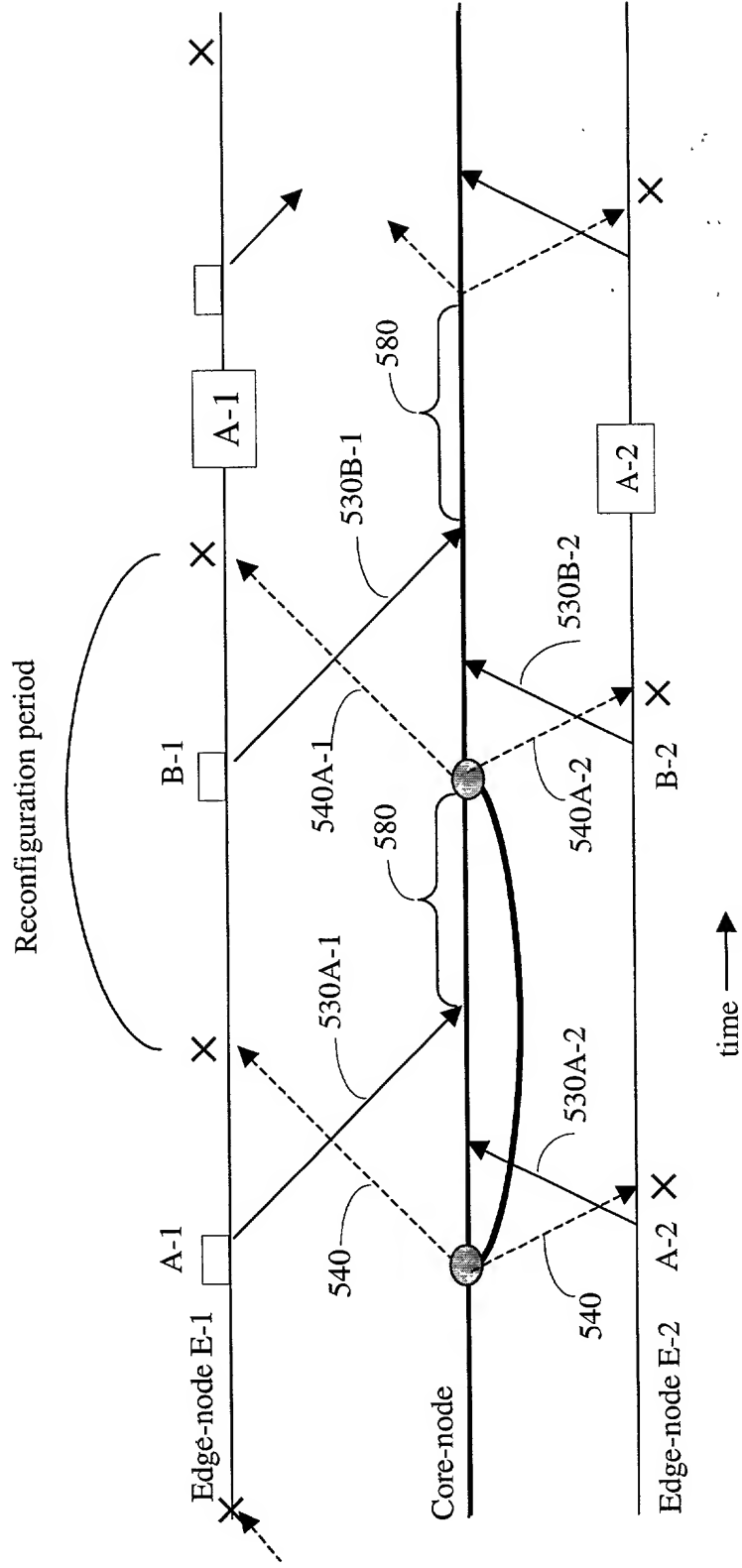


FIG. 7

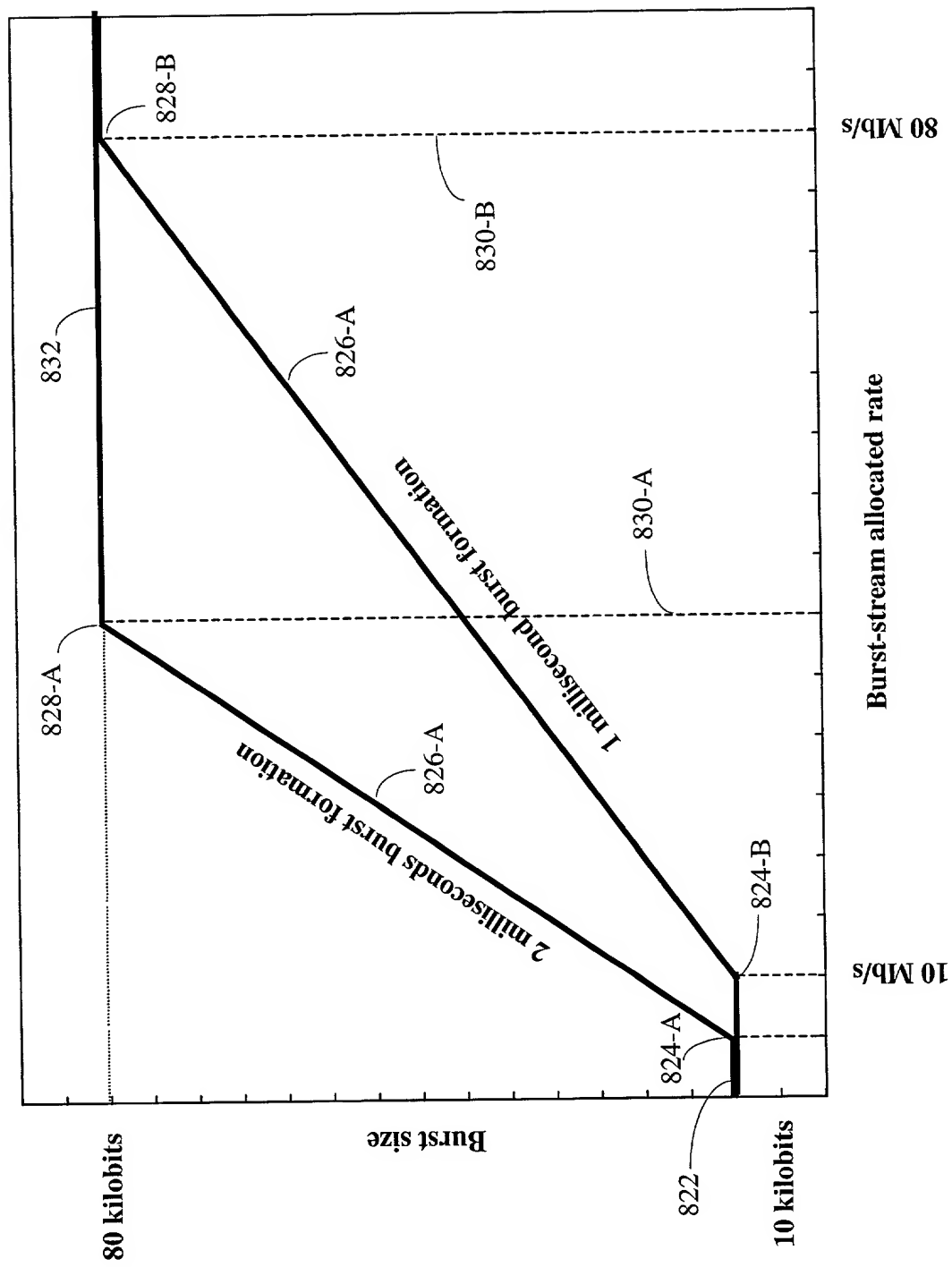


FIG. 8



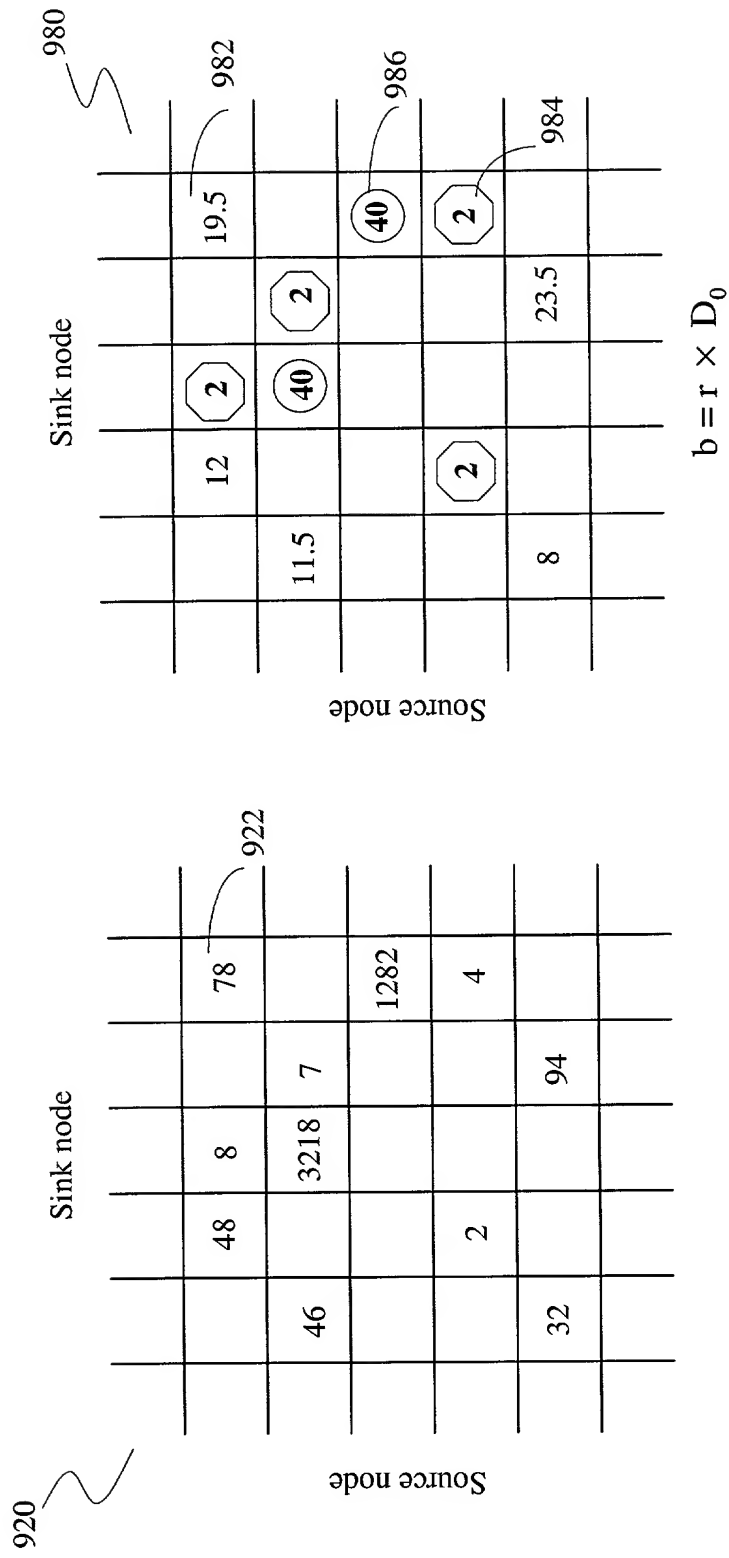


FIG. 9



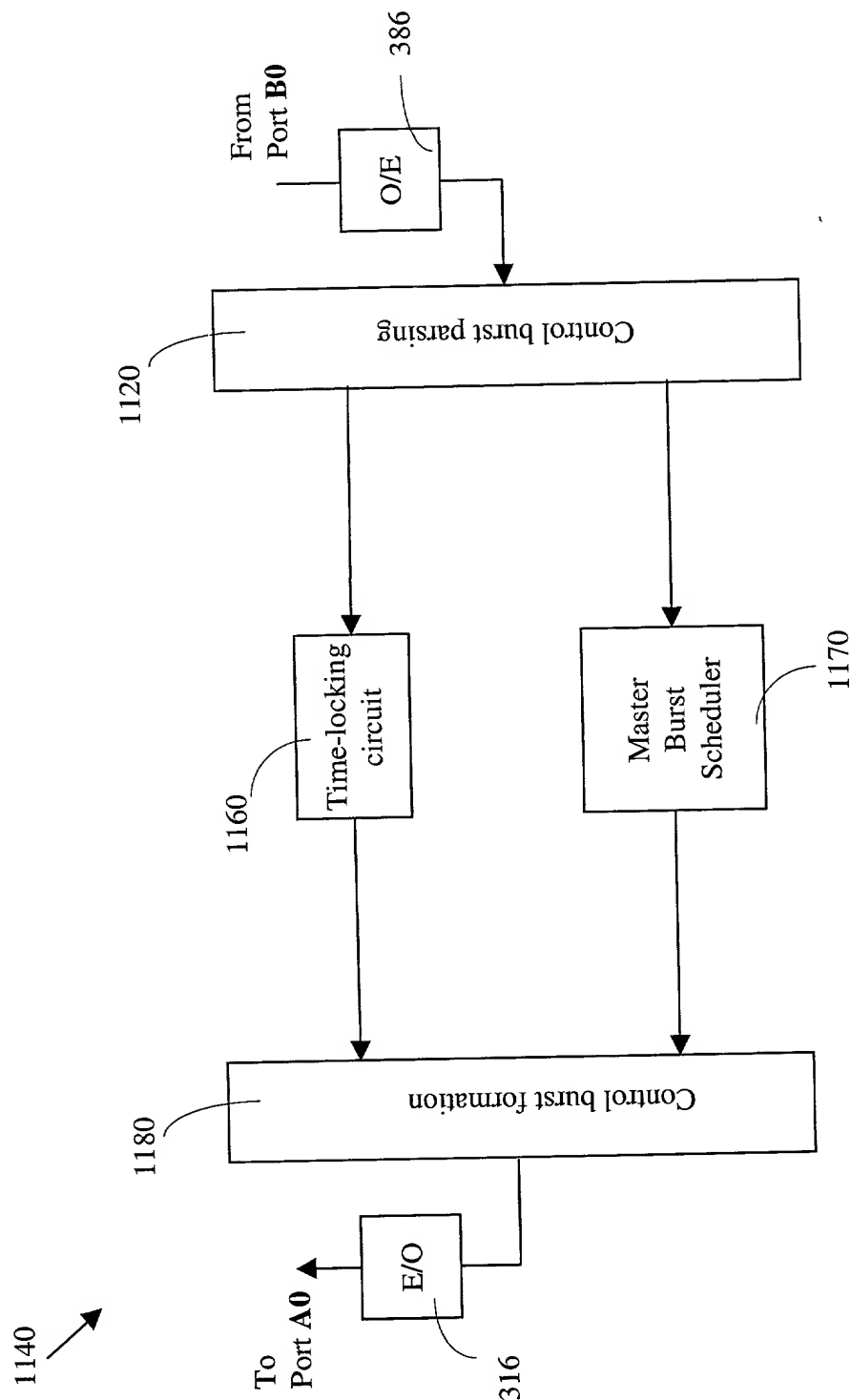


FIG. 11

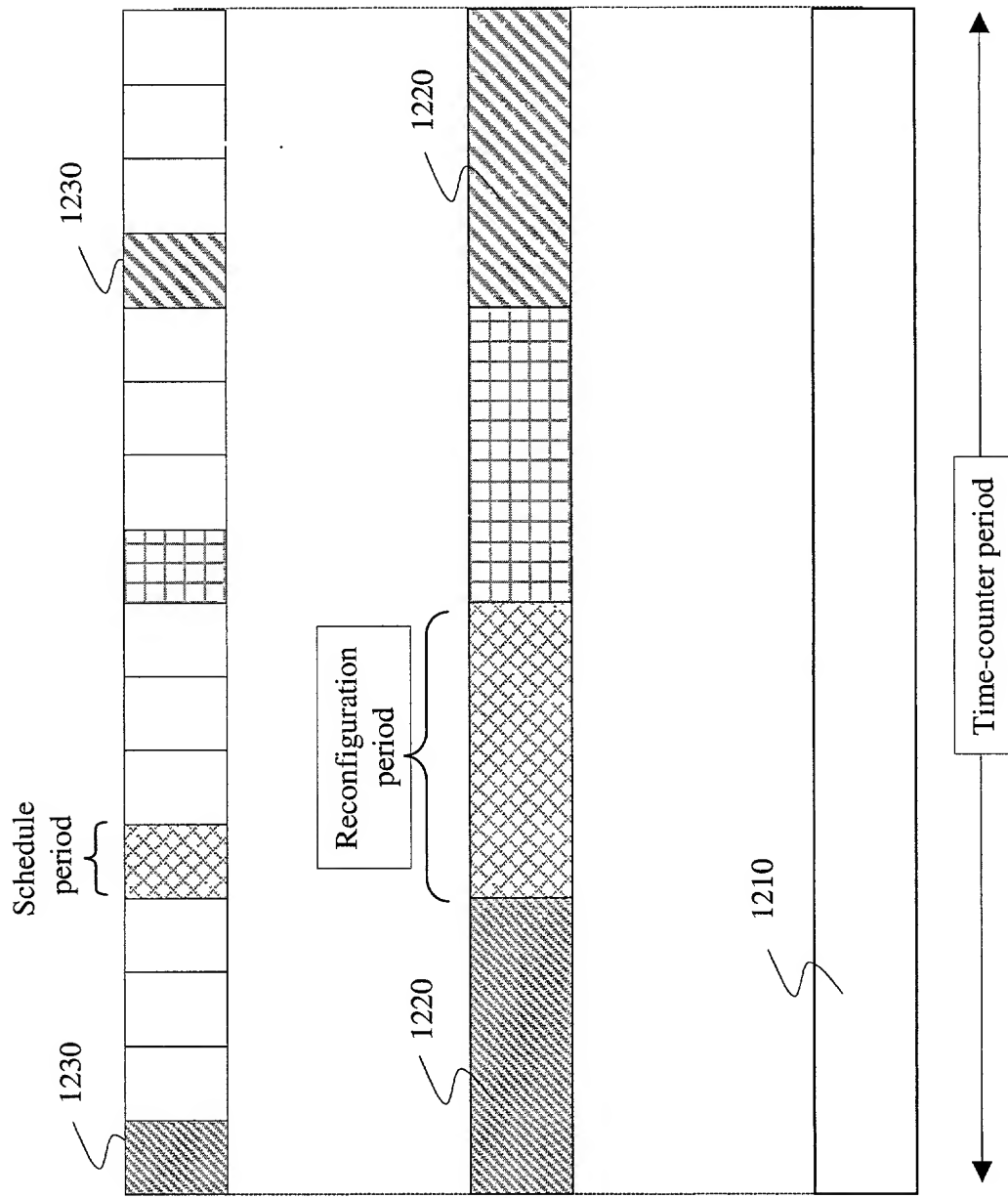


FIG. 12

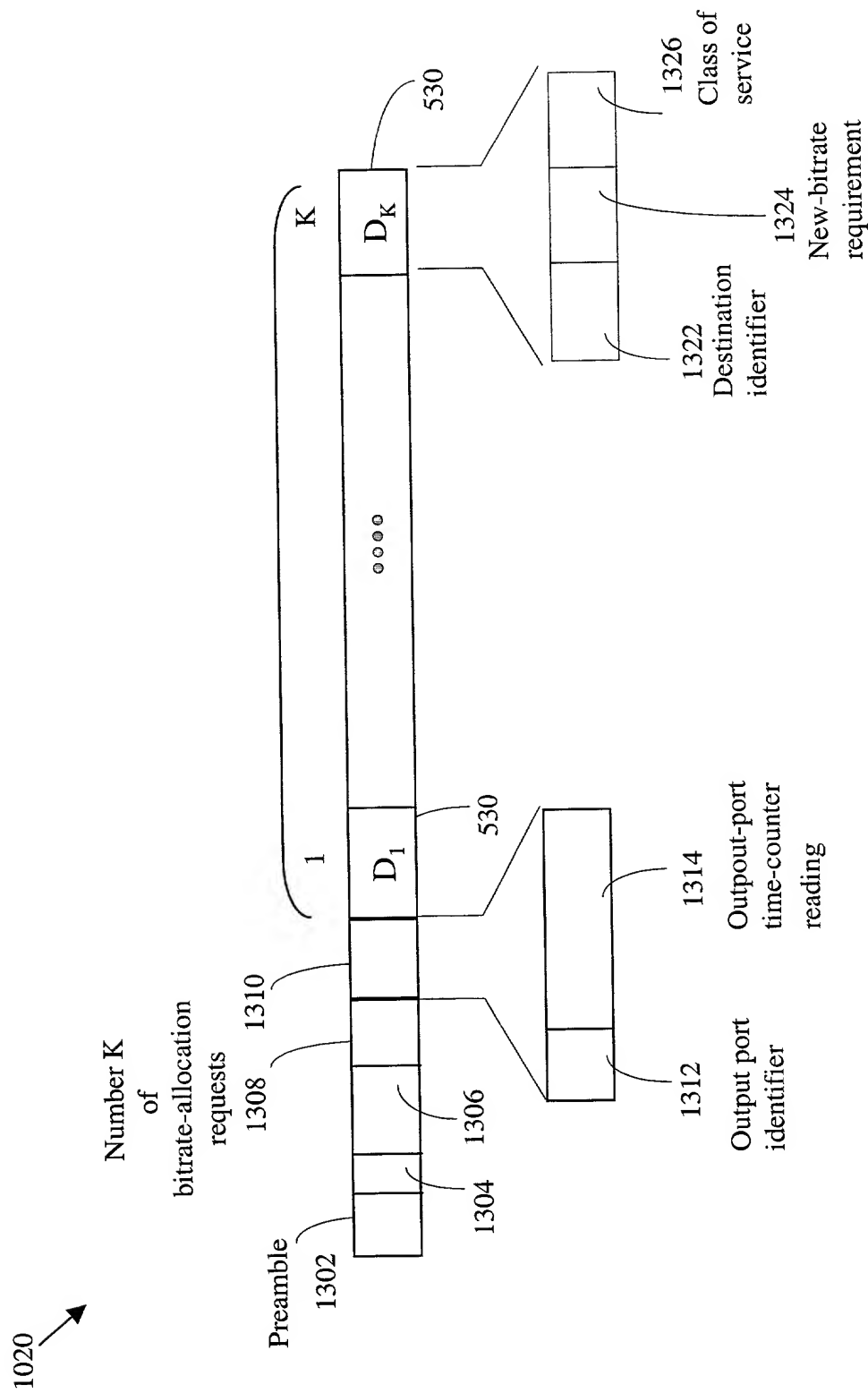


FIG. 13

1400

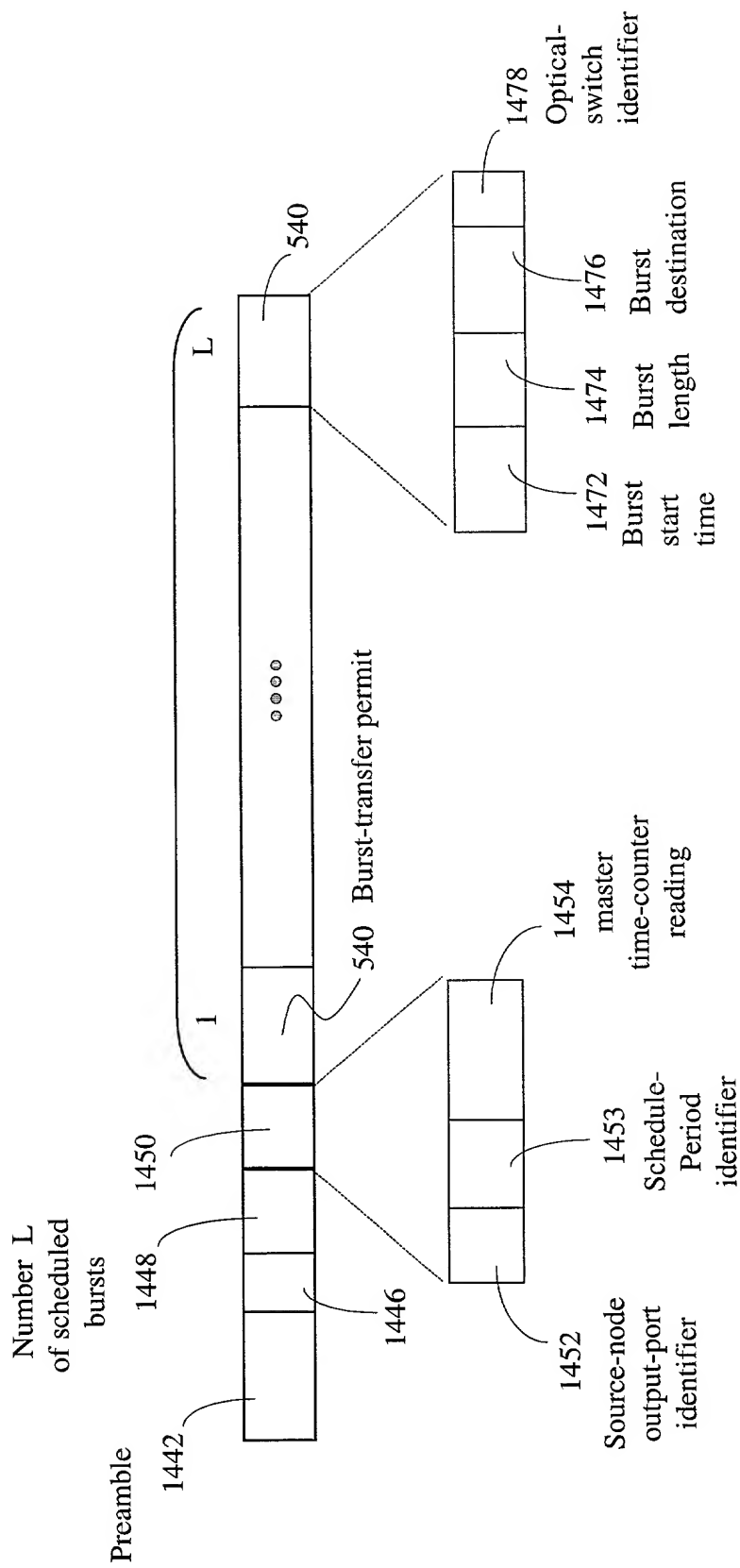


FIG. 14

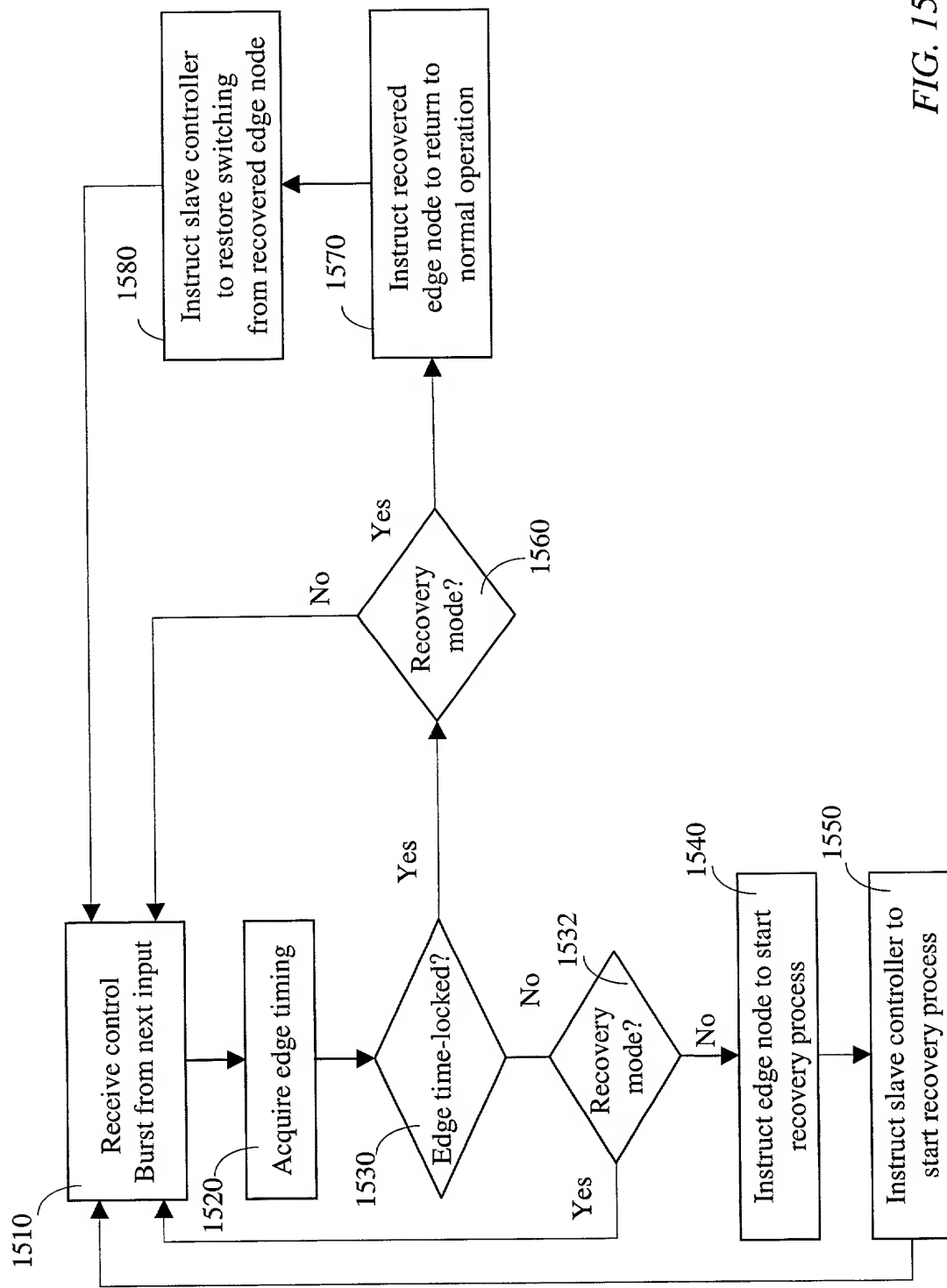


FIG. 15

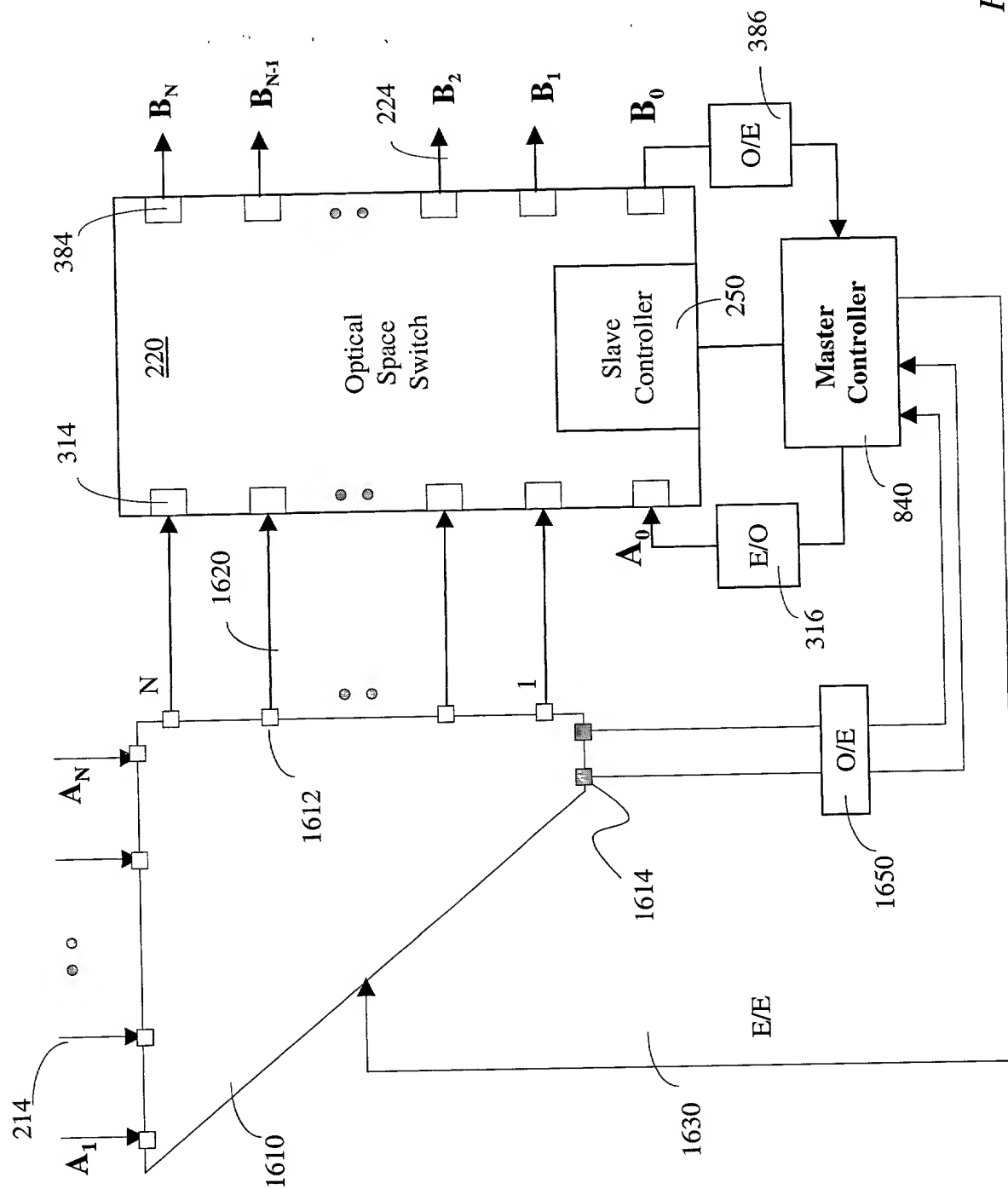


FIG. 16



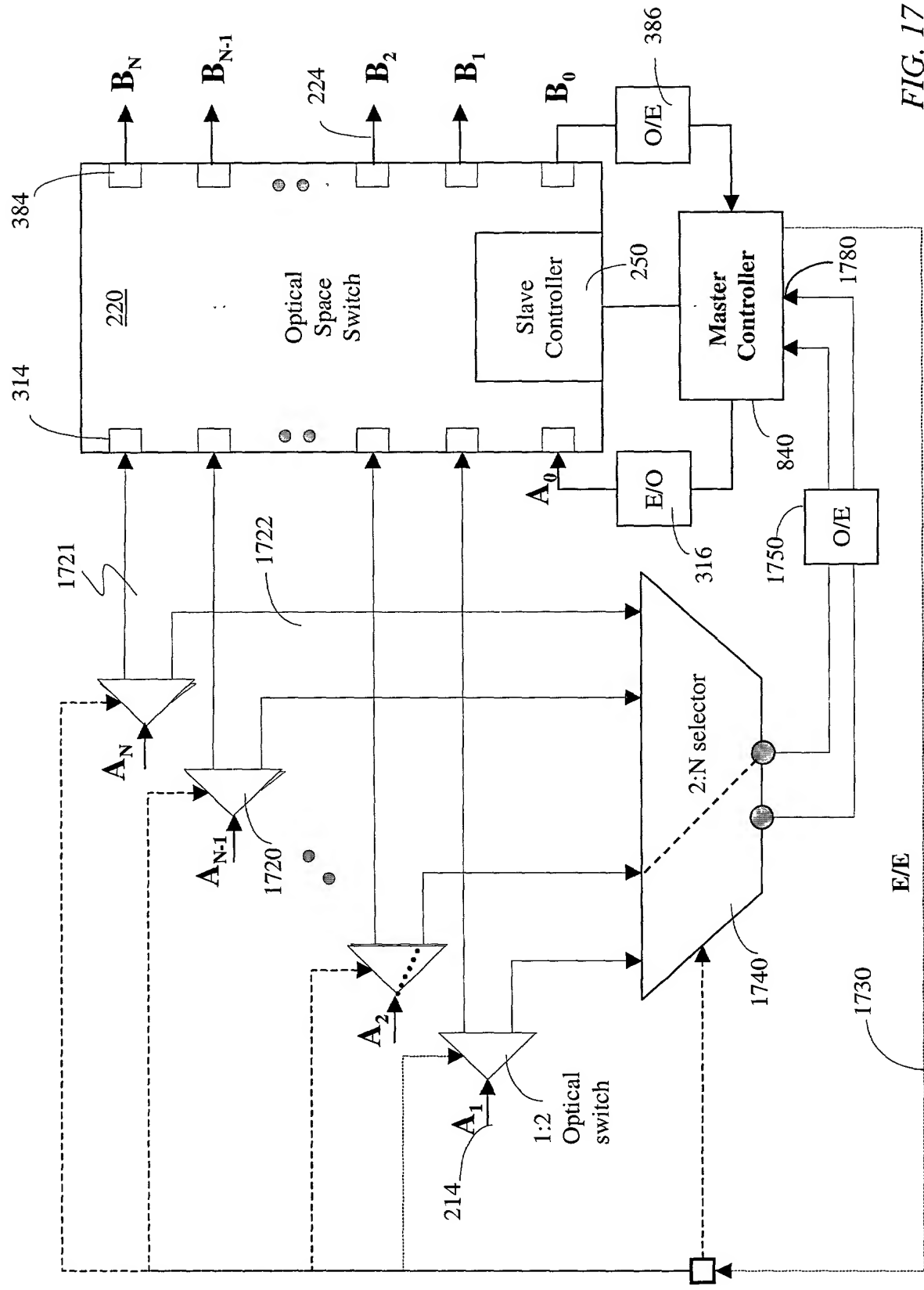


FIG. 17

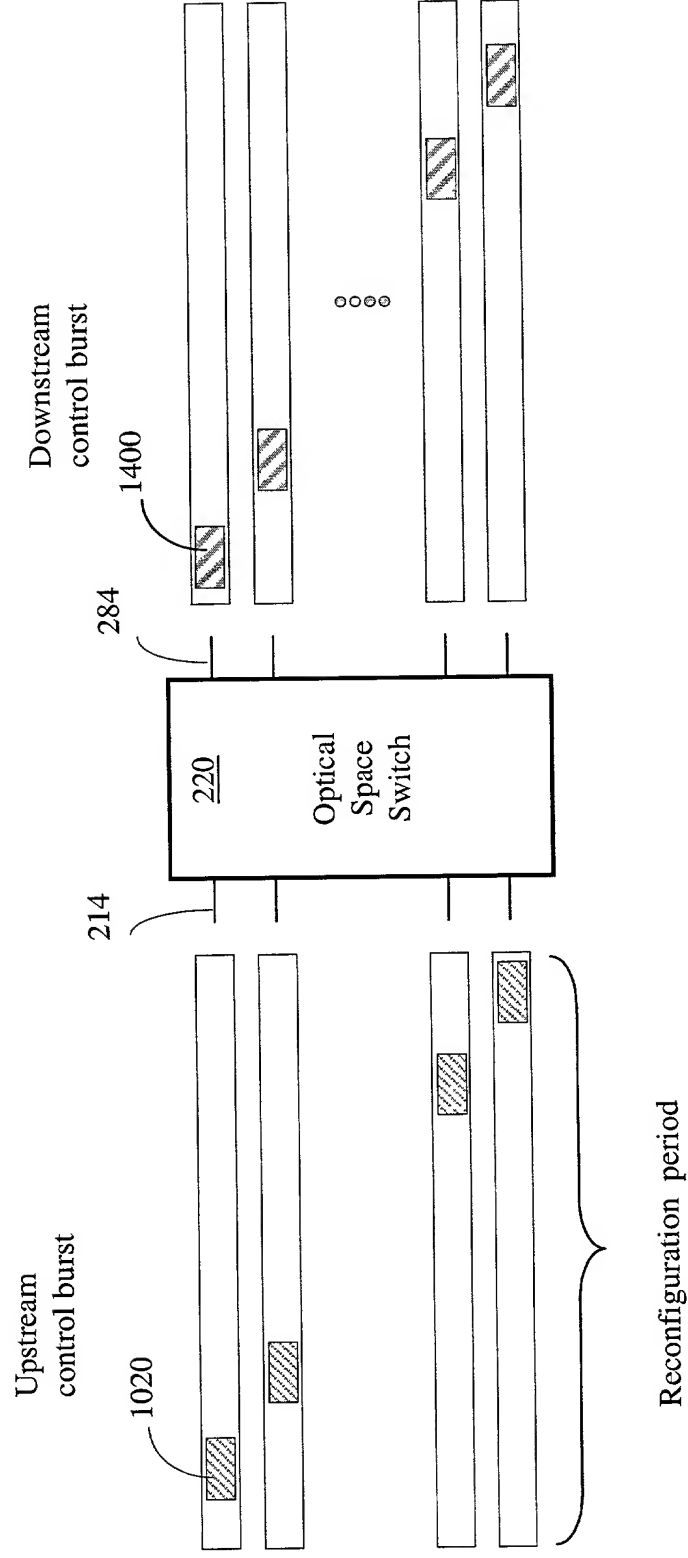


FIG. 18

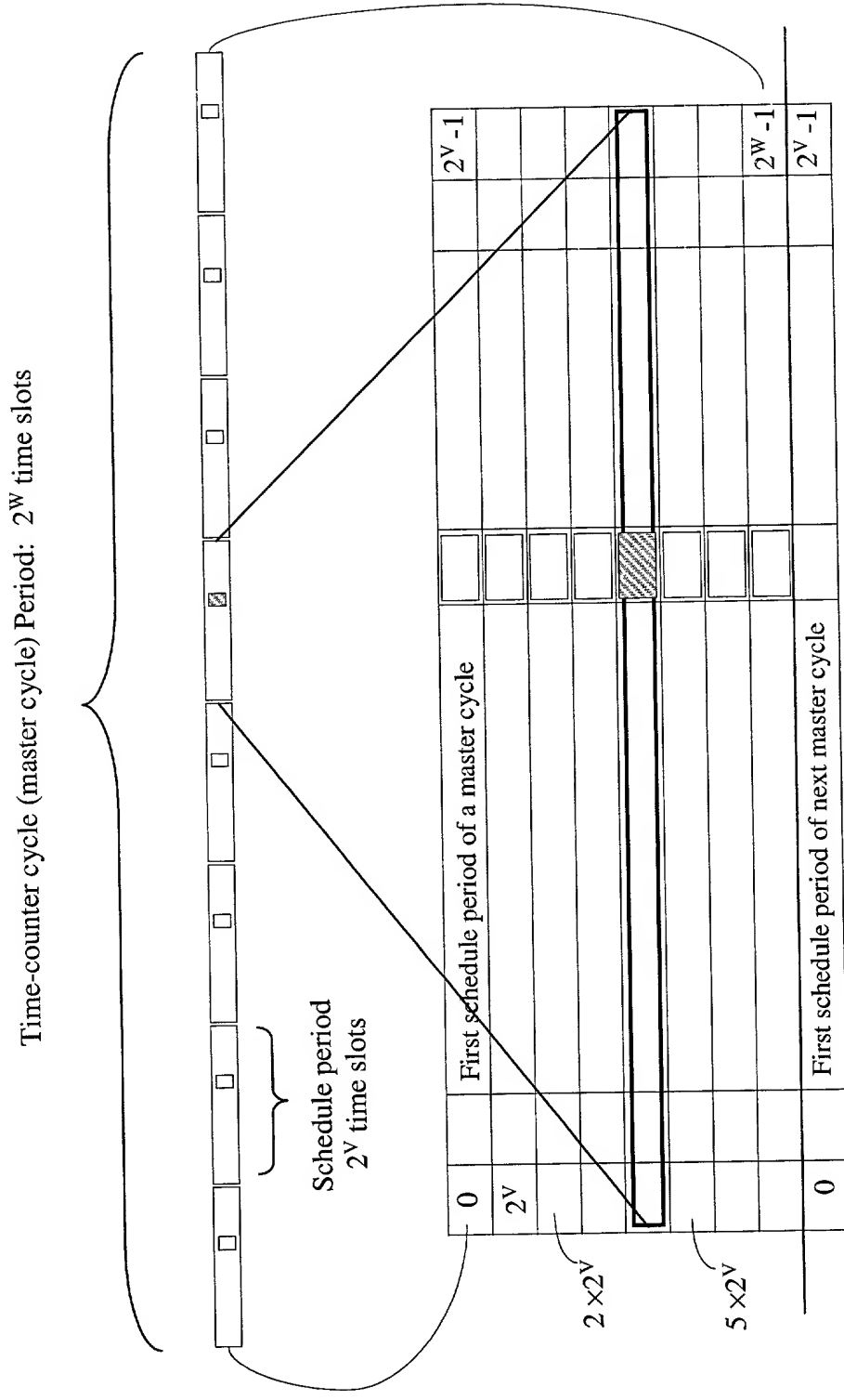


FIG. 19

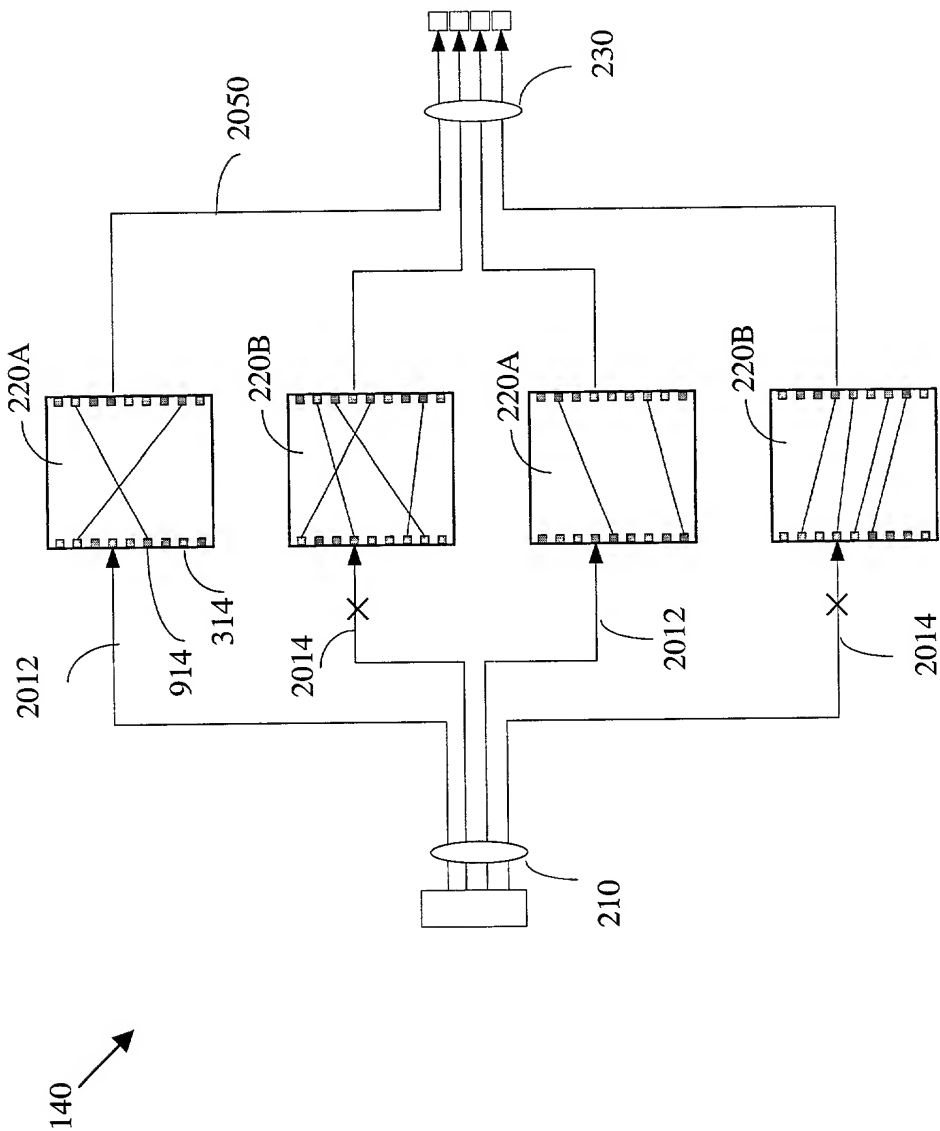


FIG. 20

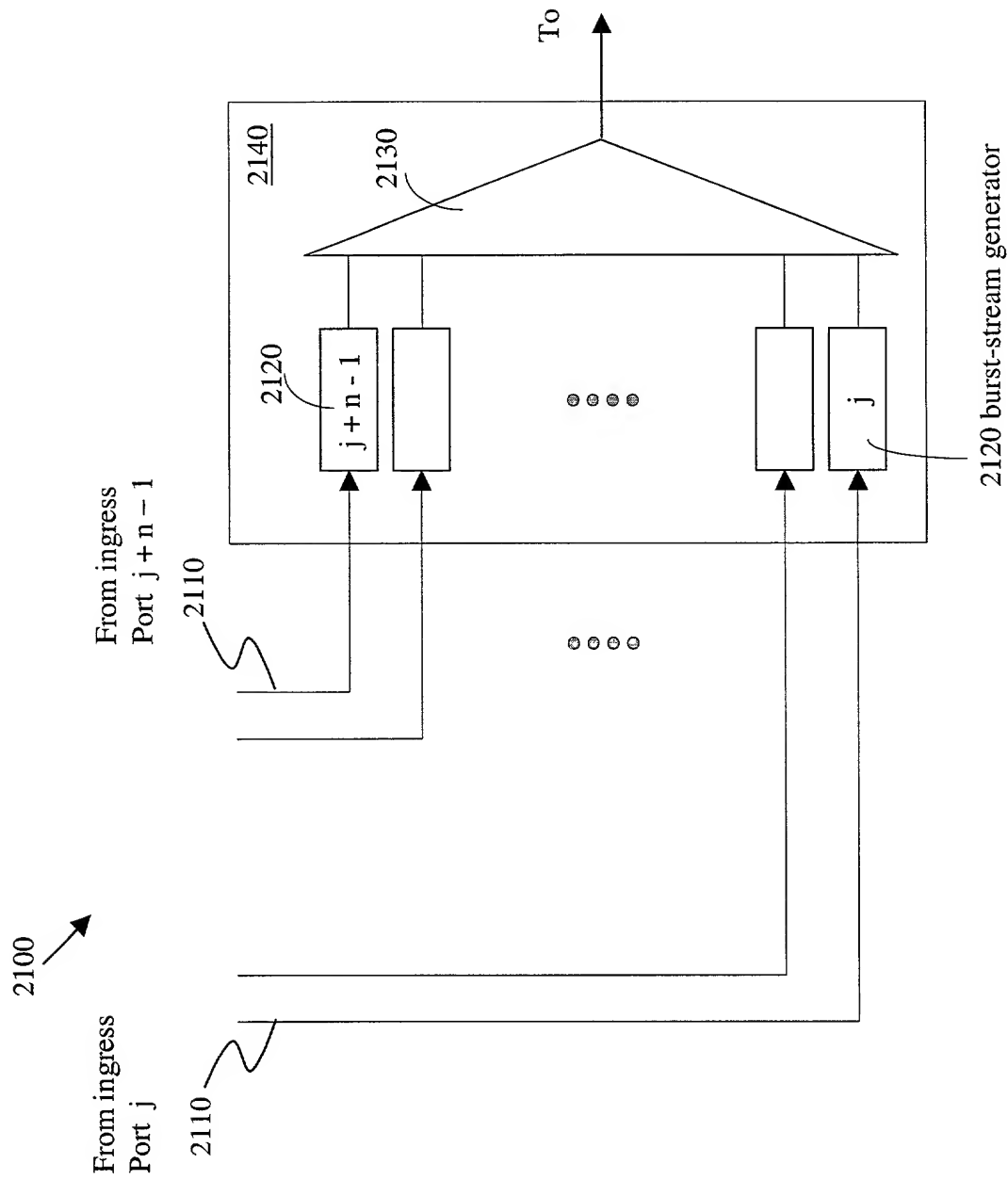


FIG. 21

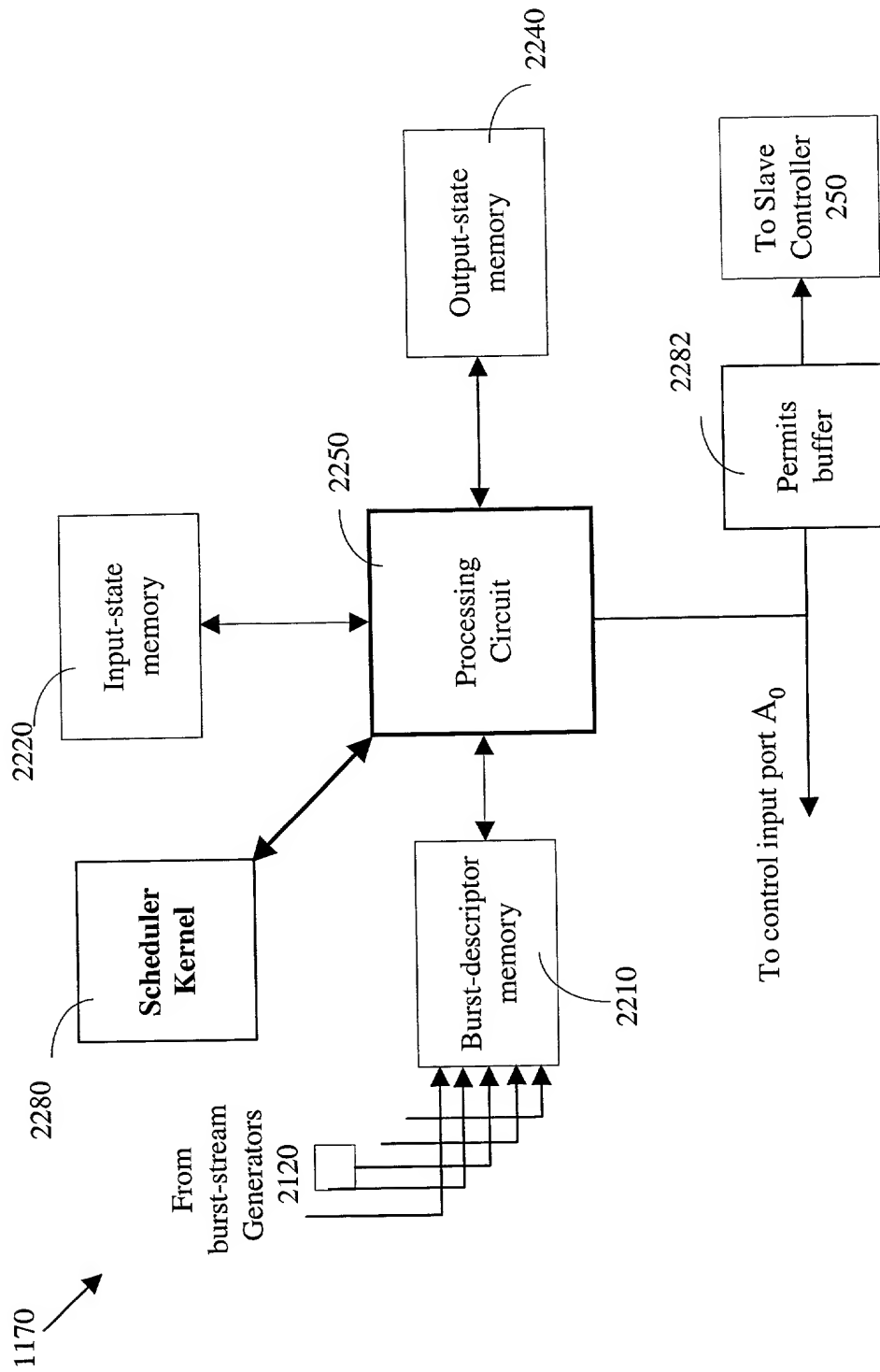


FIG. 22

1170

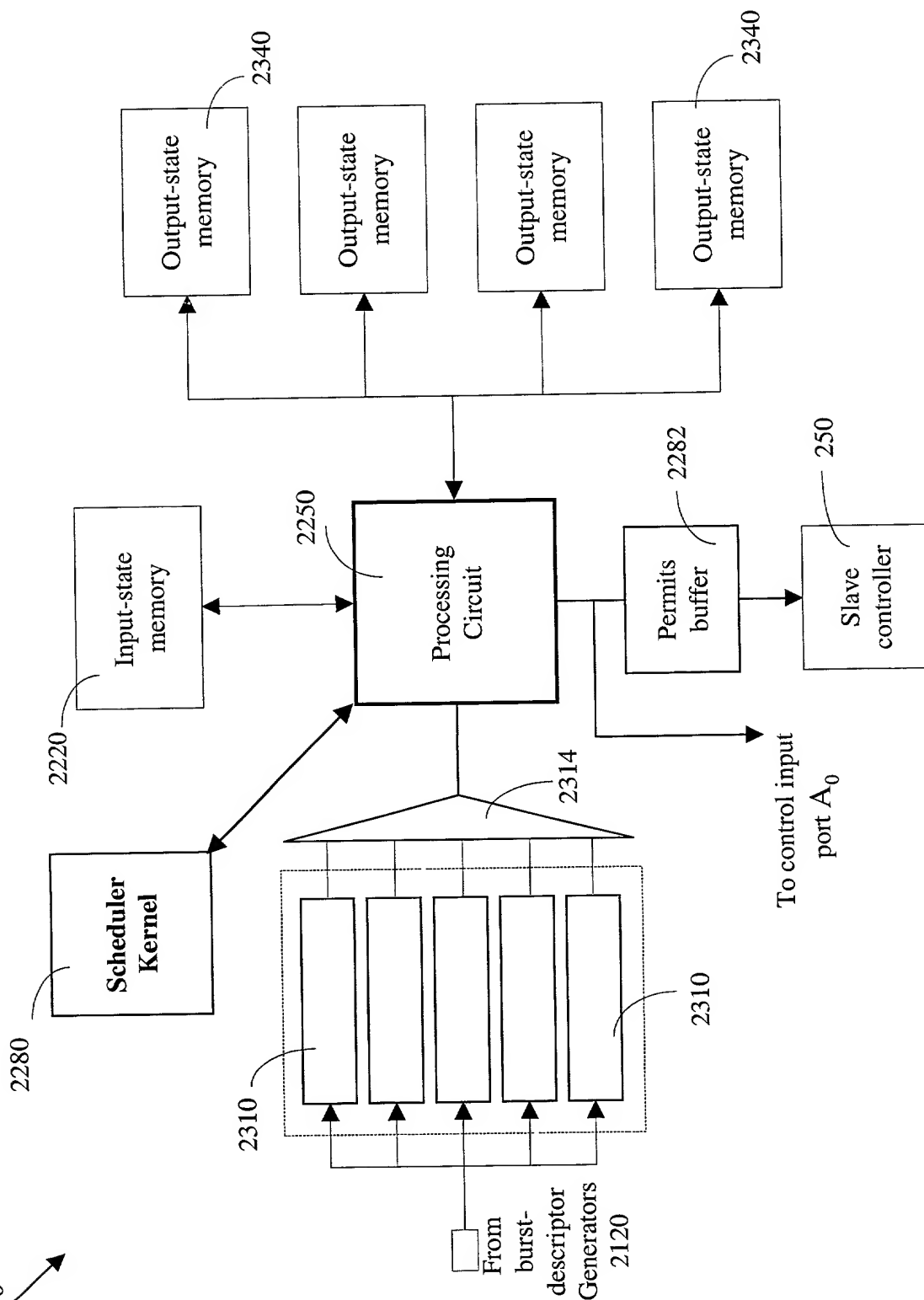


FIG. 23





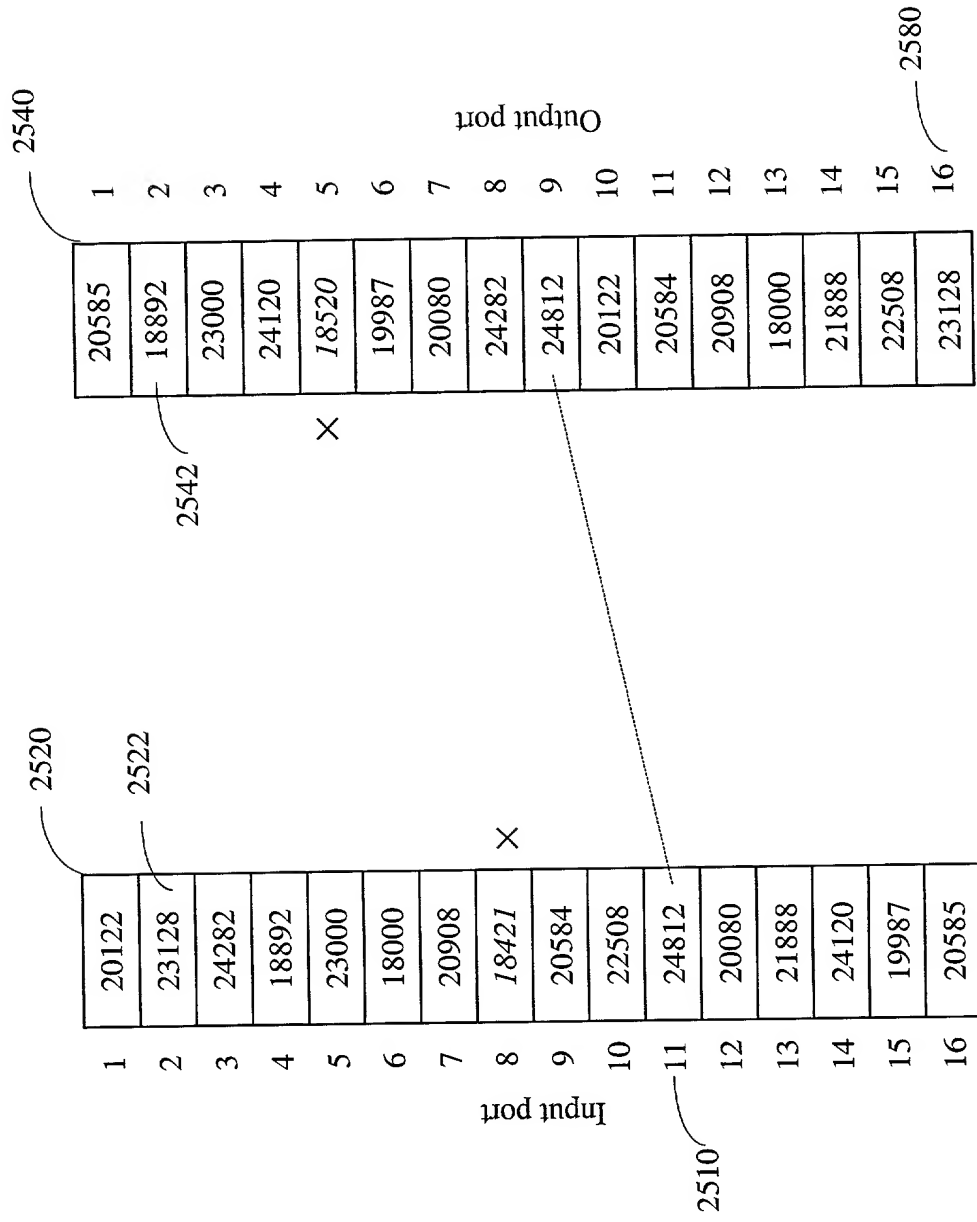


FIG. 25

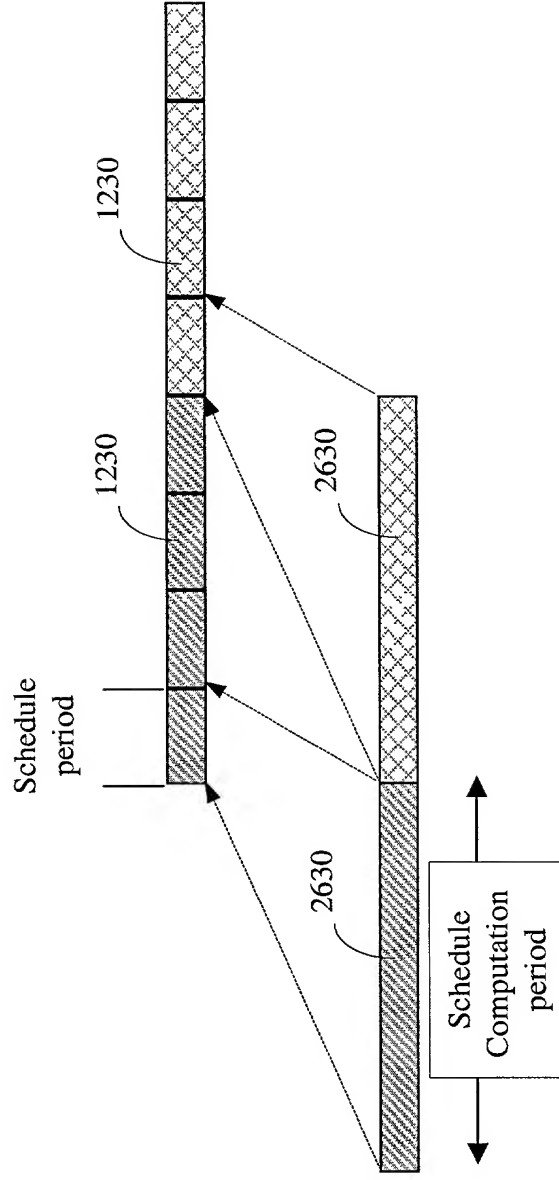


FIG. 26

TOGETHER

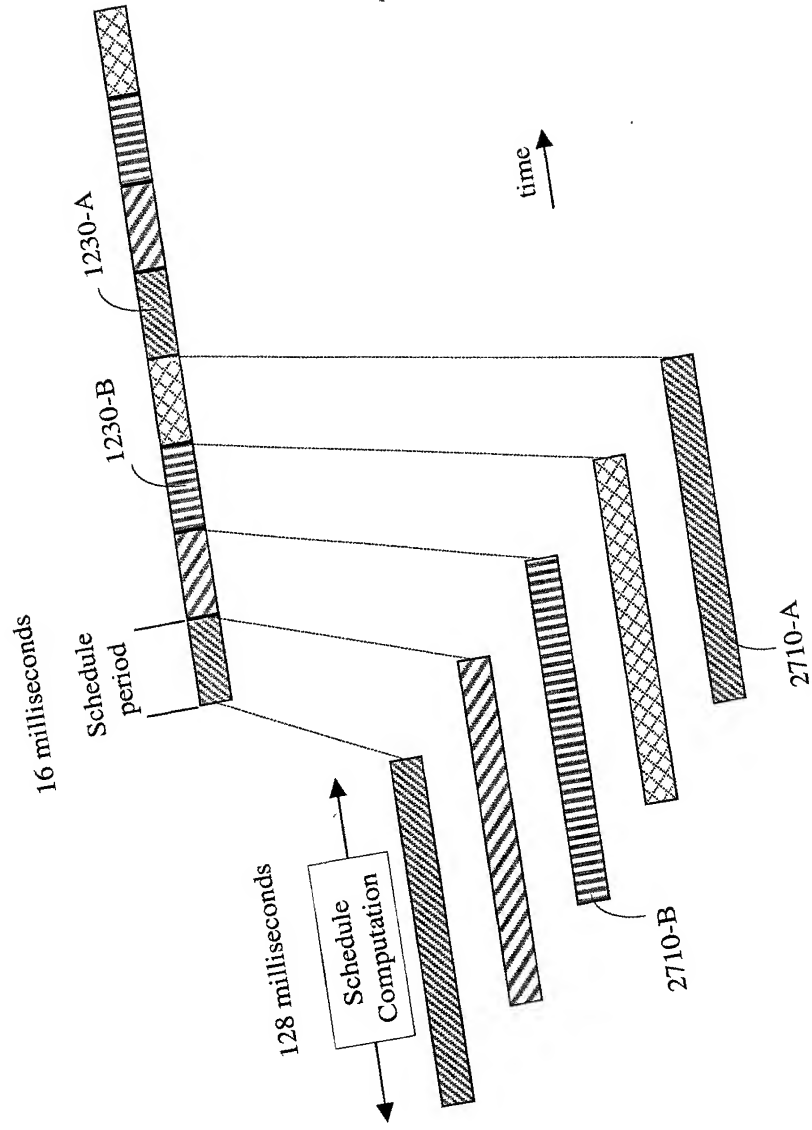


FIG. 27

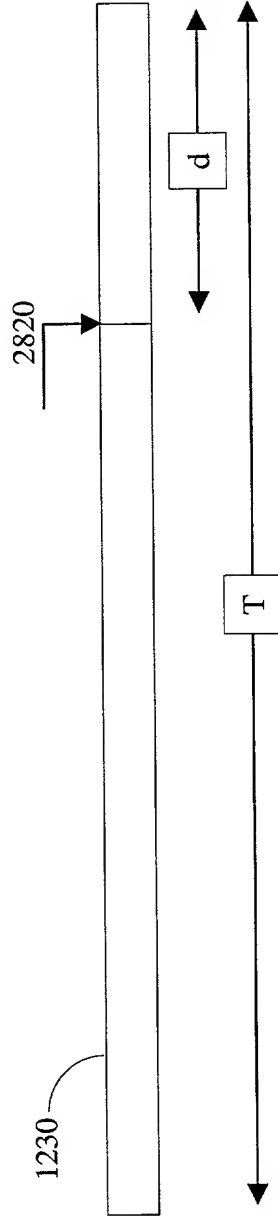


FIG. 28-a

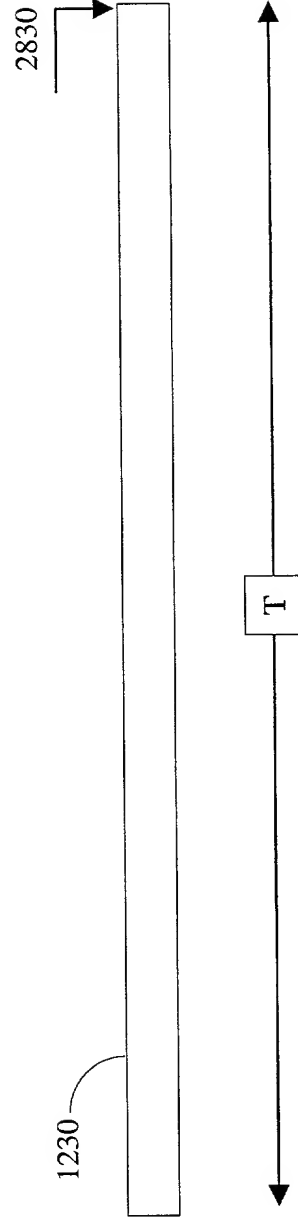


FIG. 28-b

FIG. 28

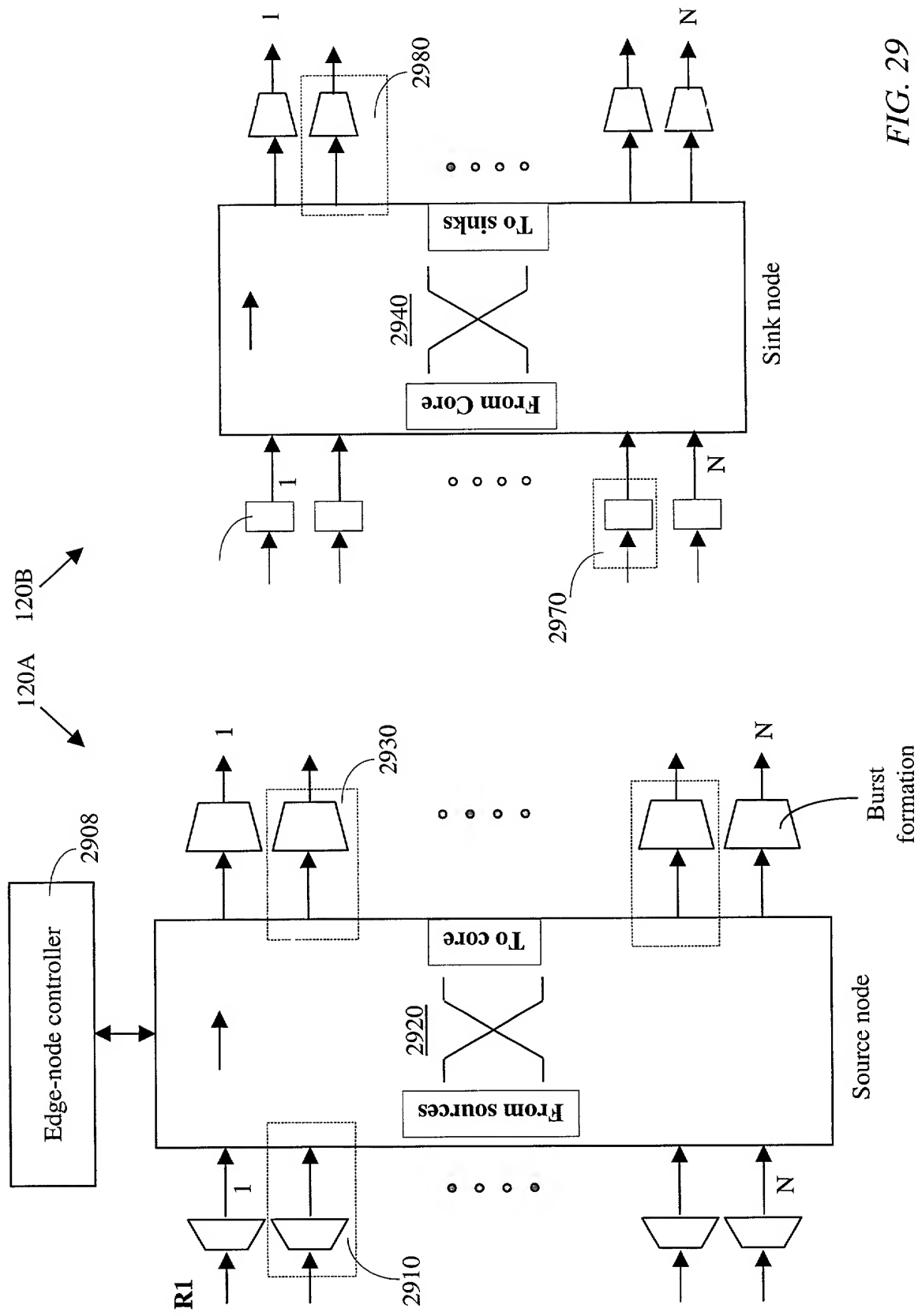


FIG. 29

120 ↗

120A →

120B →

From sources

From Core

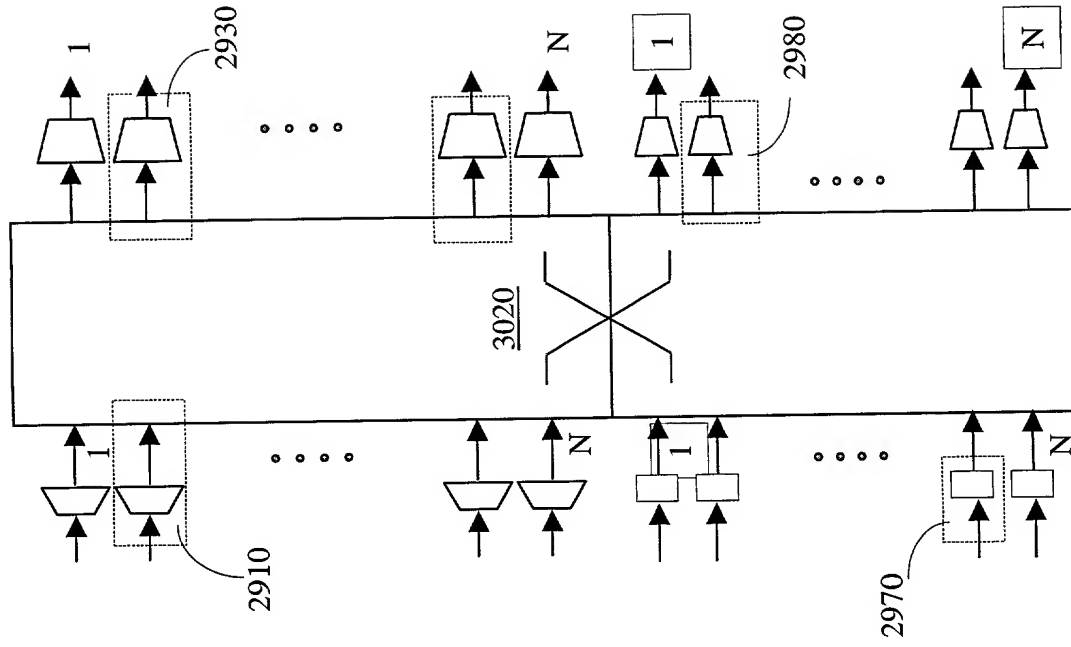


FIG. 30

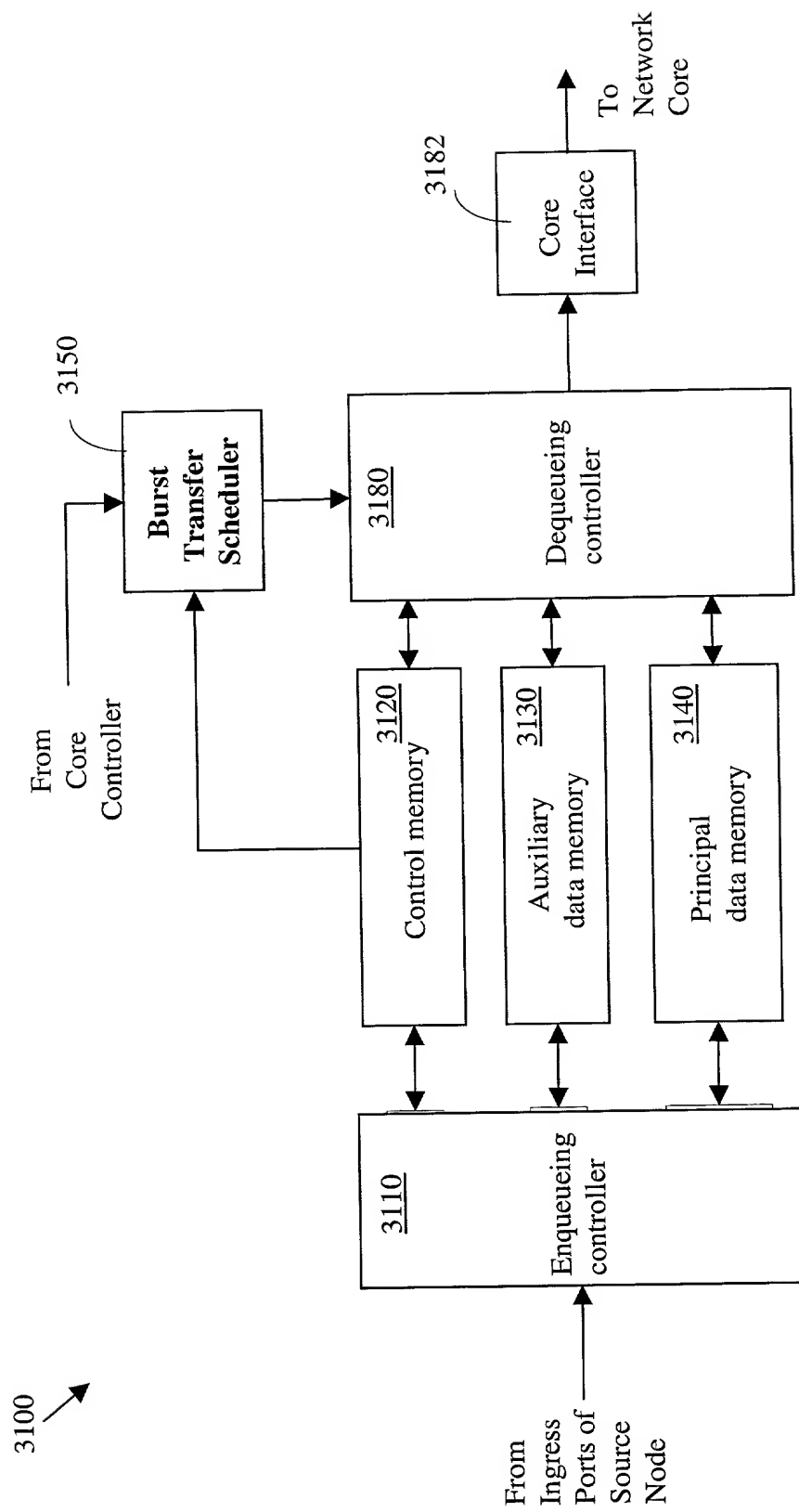


FIG. 31

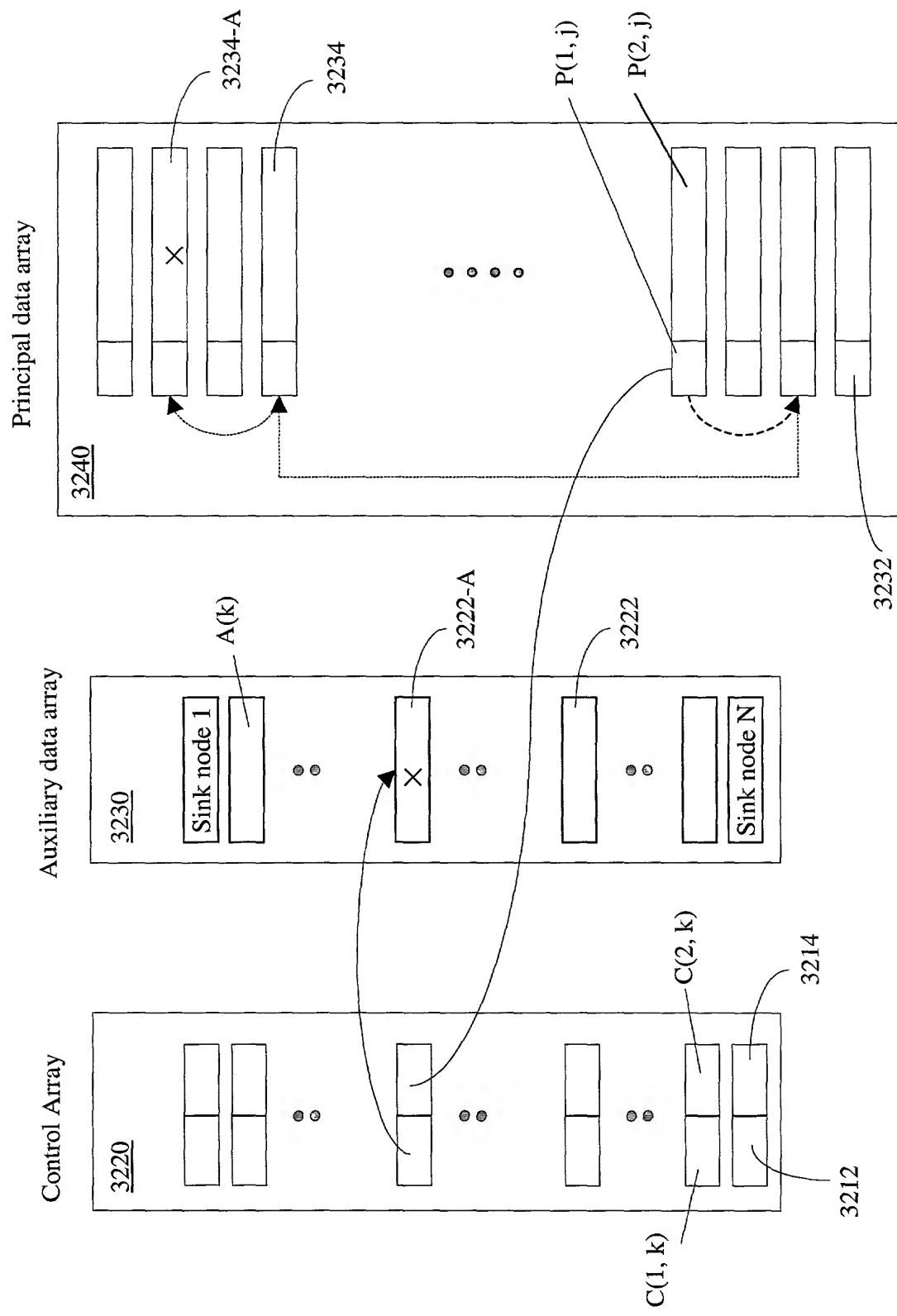


FIG. 32



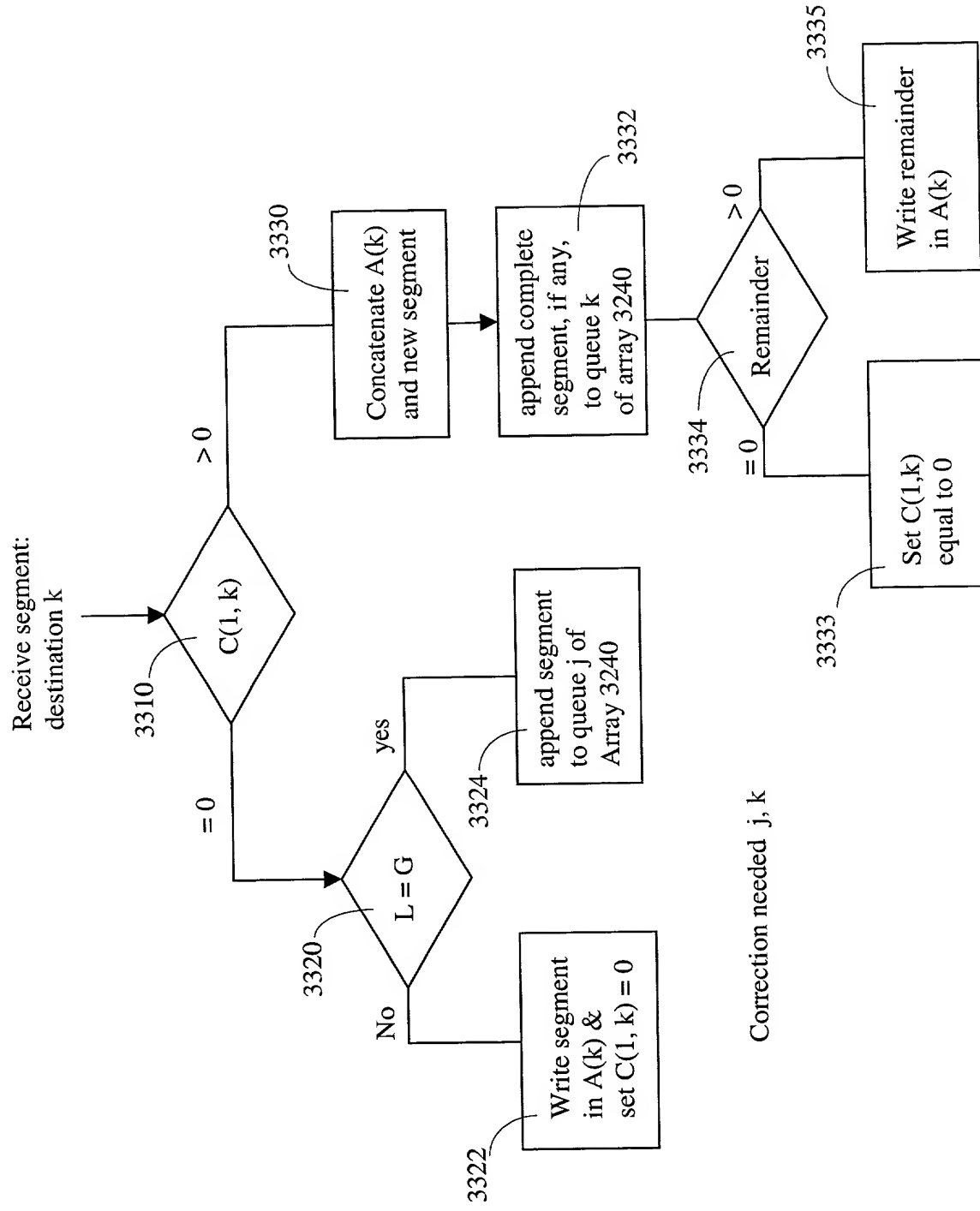


FIG. 33

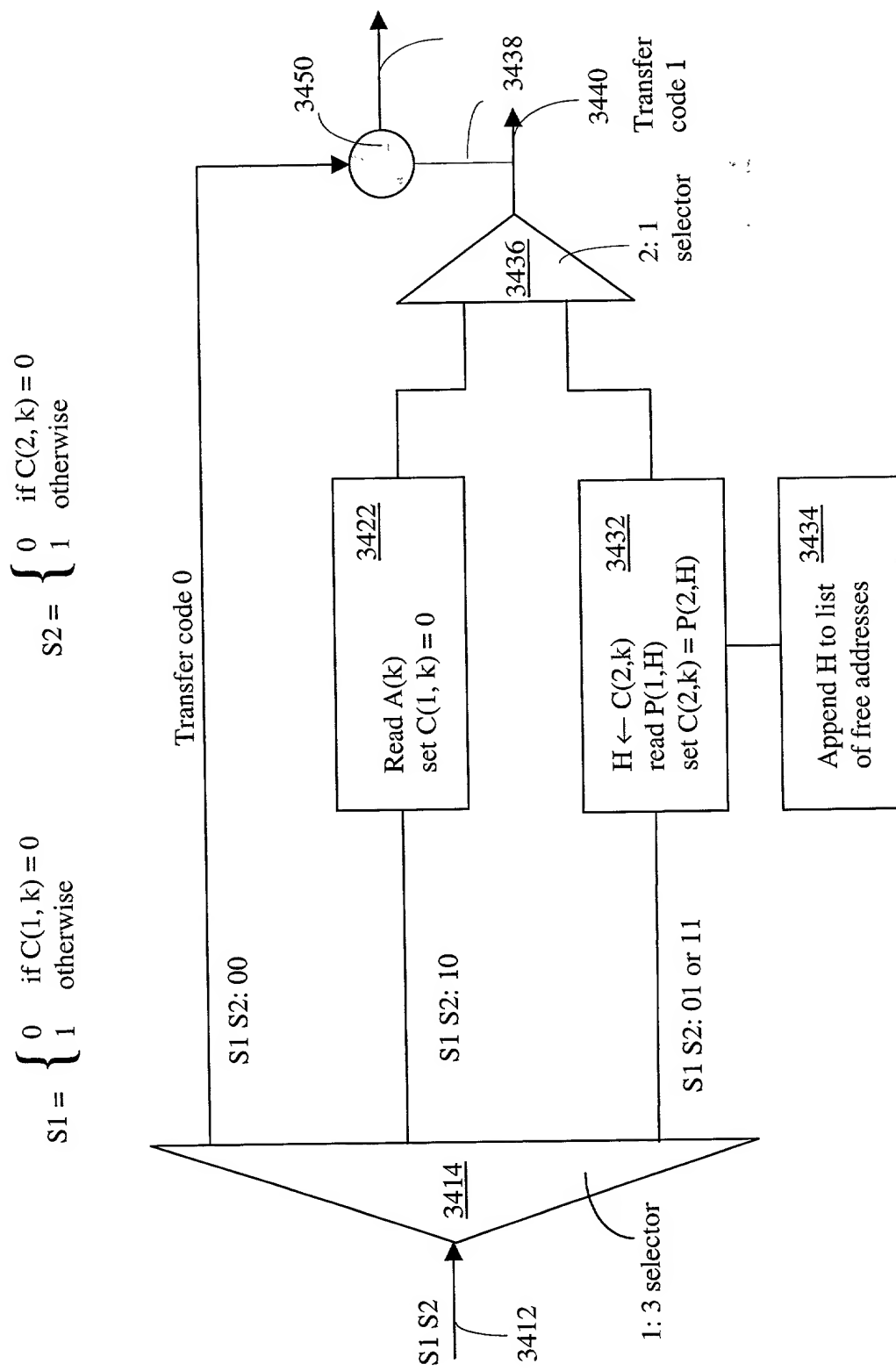


FIG. 34

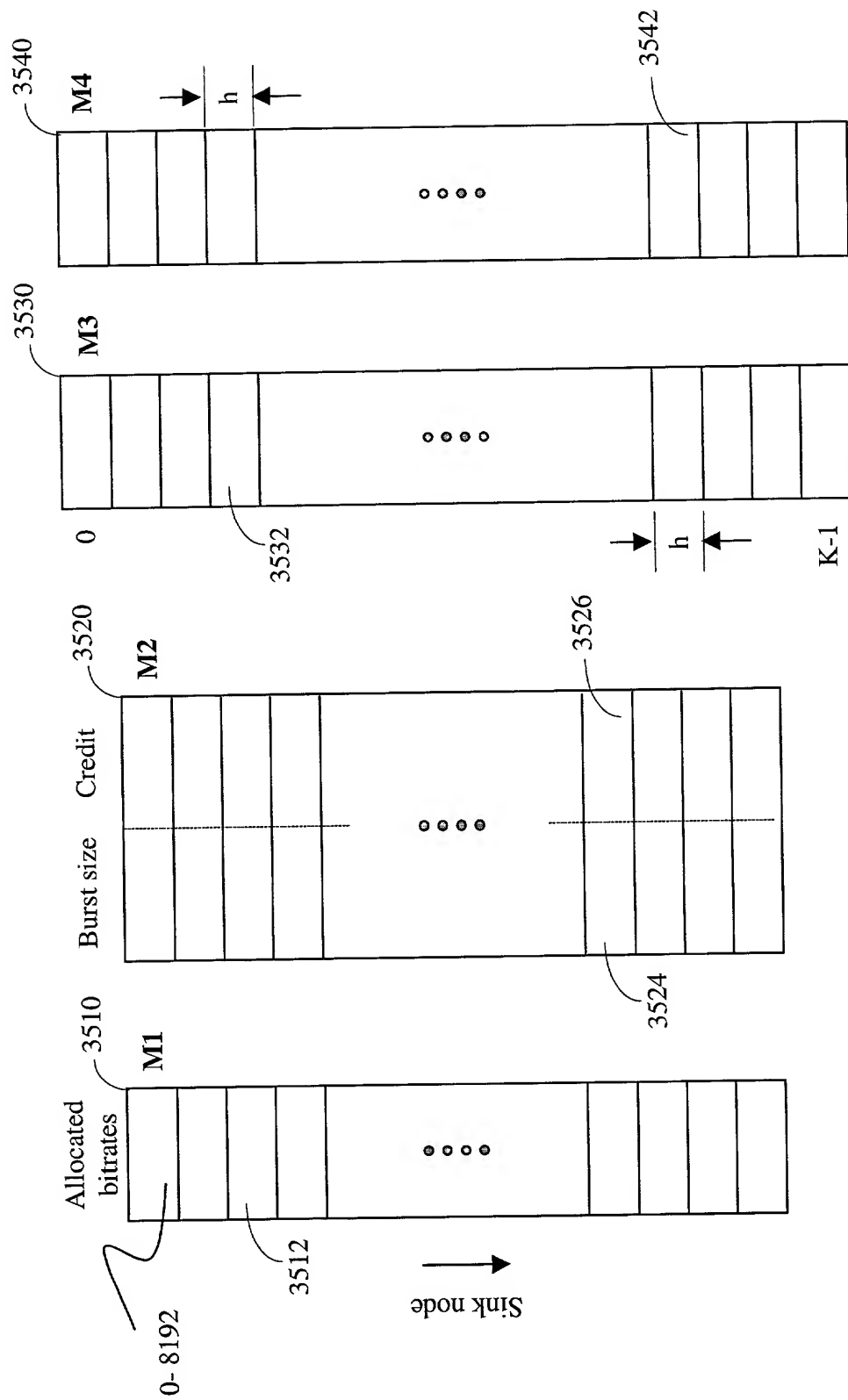


FIG. 35

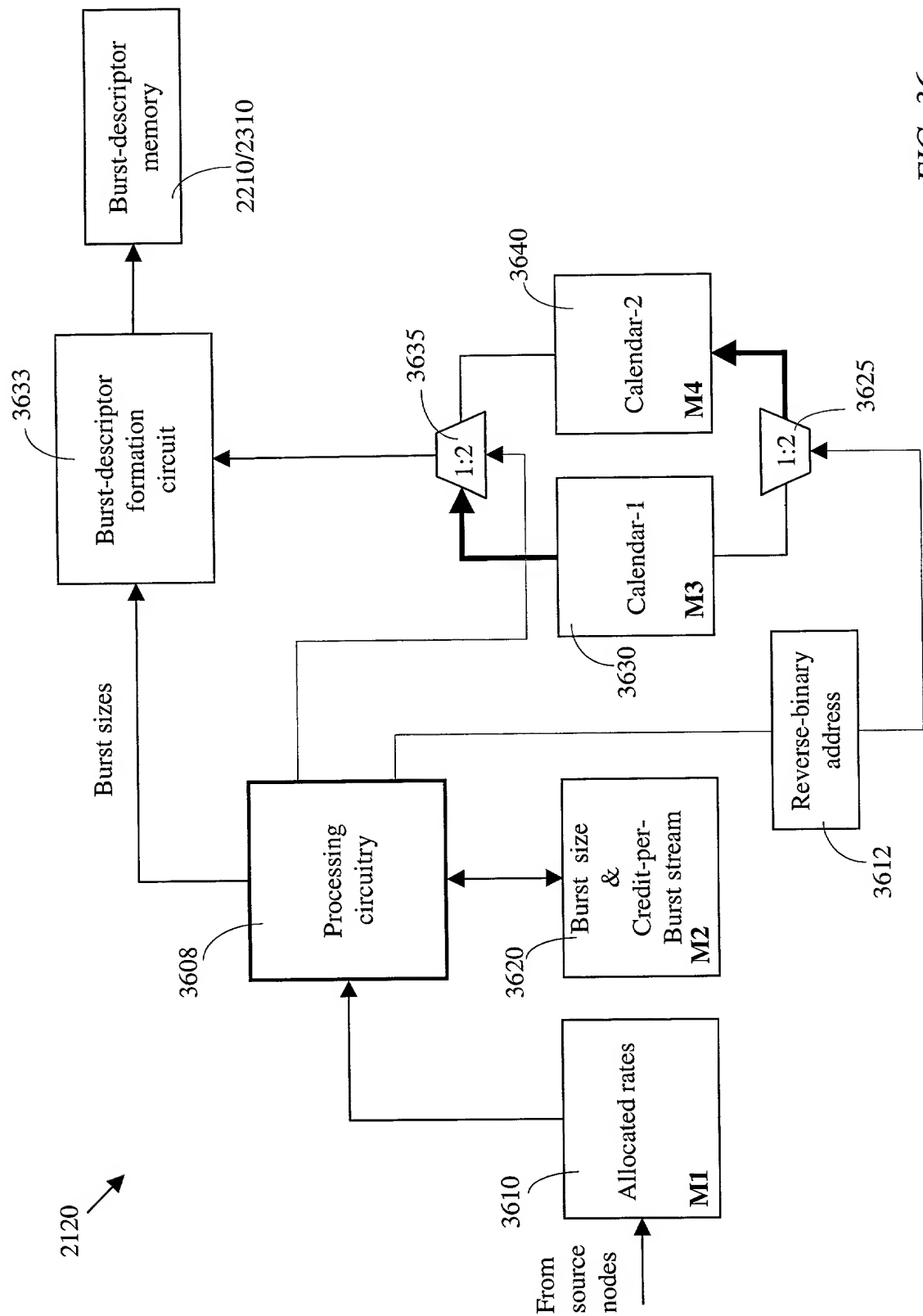


FIG. 36